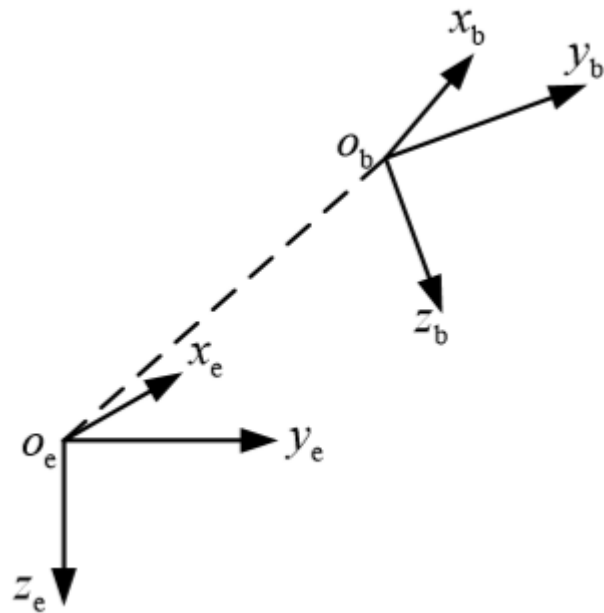


第二章：飞行器系统建模与参数测量

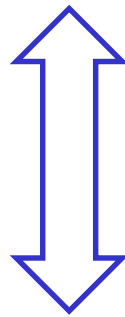
一、坐标系与坐标变换——1.1 坐标系

地球固联坐标系和机体坐标系

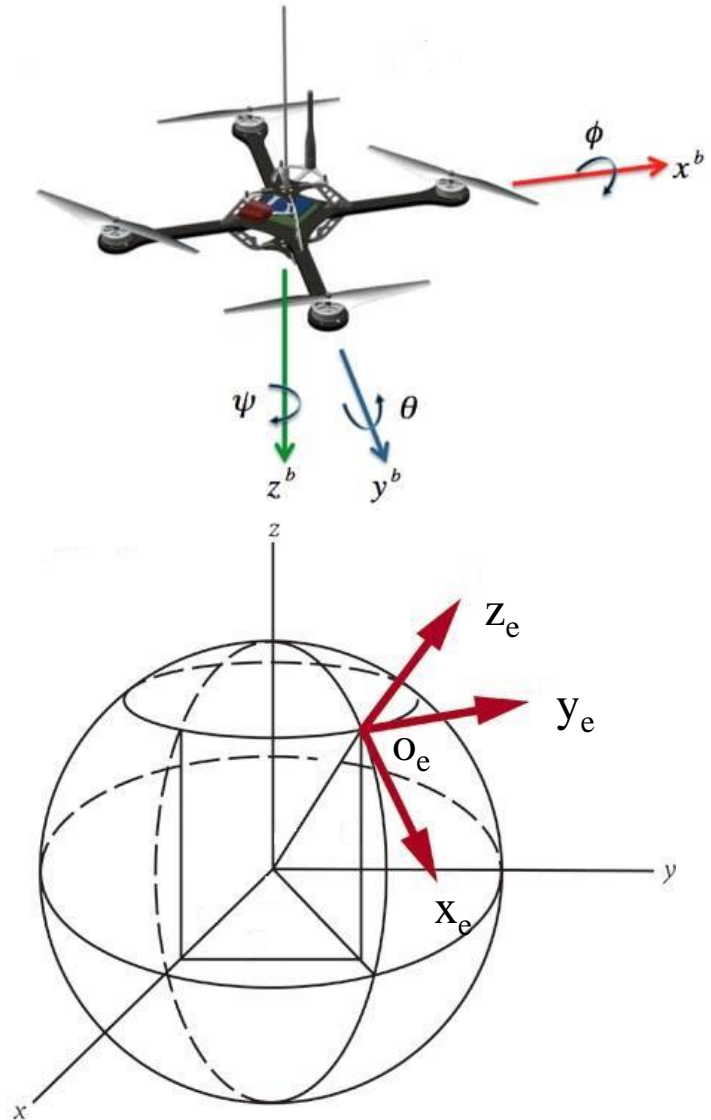


机体坐标系与惯性坐标系关系图

机体系

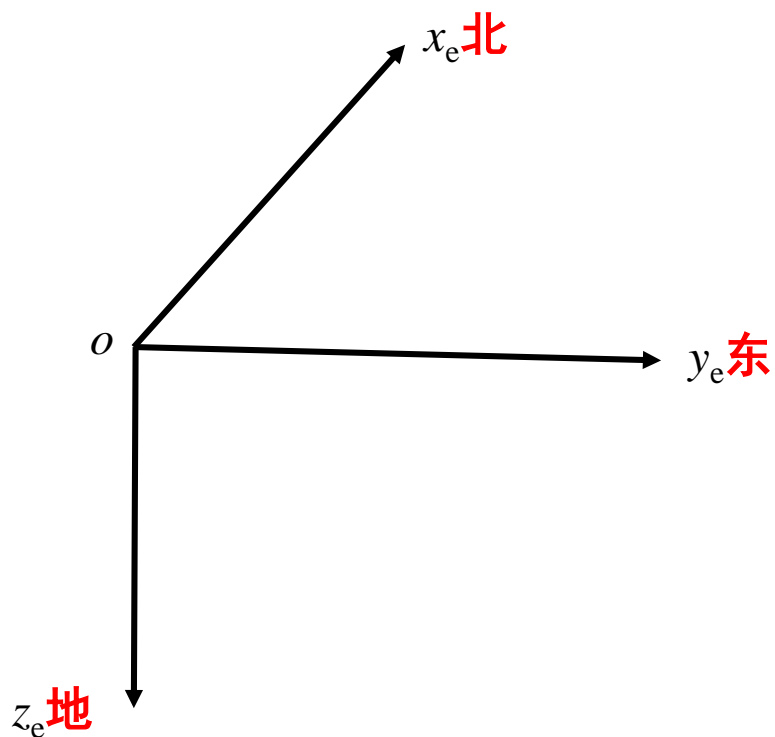


惯性系

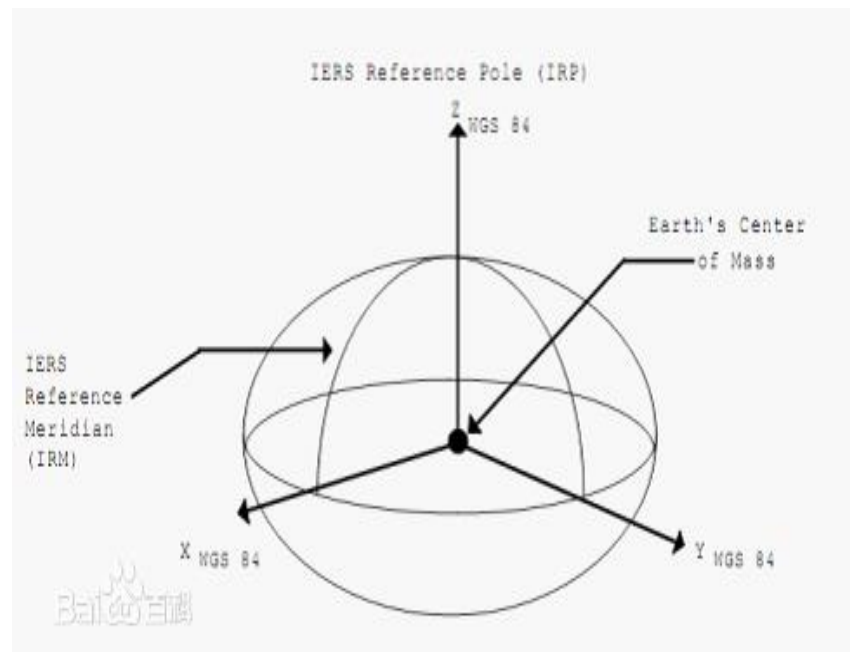


一、坐标系与坐标变换——1.1 坐标系

□ 惯性坐标系



□ 北东地坐标系 (ENU)

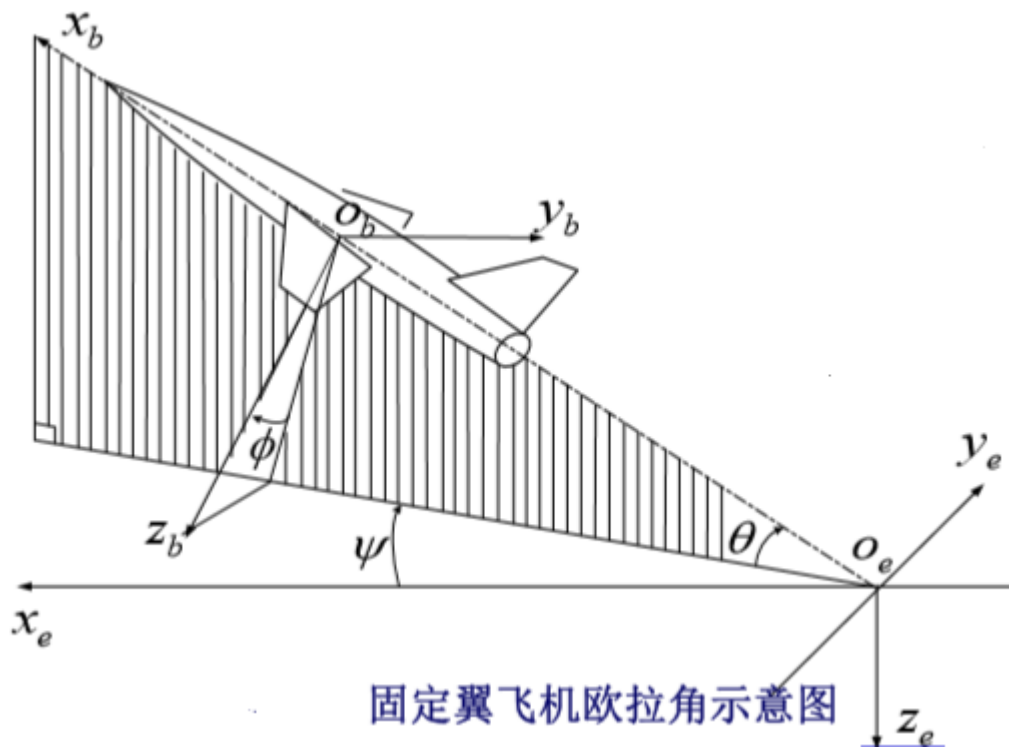
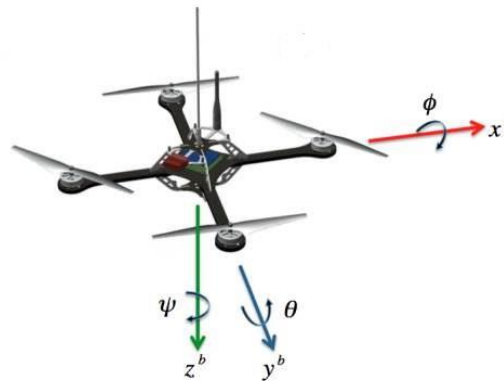


WGS84坐标系

一、坐标系与坐标变换——1.1 坐标系

欧拉角定义

机体坐标系和ENU坐标系之间的夹角，用来表示姿态



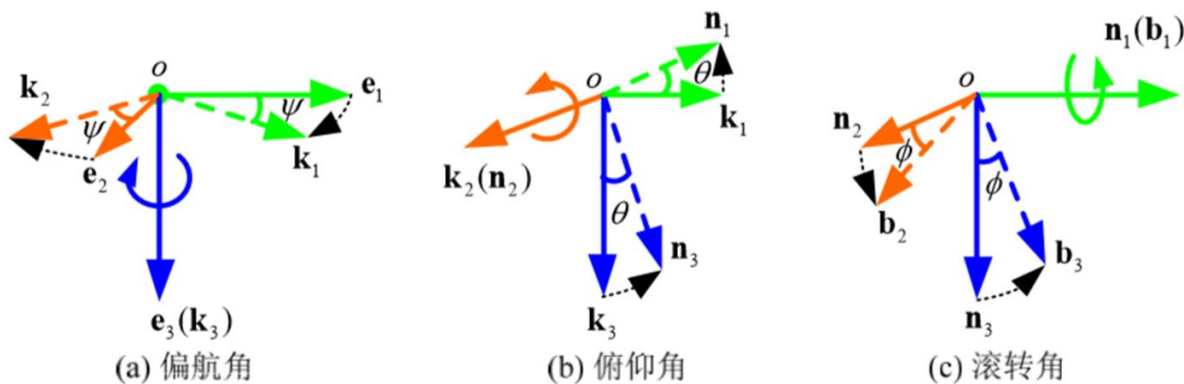
滚转角 Φ : 飞机对称面绕机体轴转过的角度

俯仰角 θ : 机体轴与地平面之间的夹角

偏航角 ψ : 机体轴在水平面上的投影与北向间的夹角

一、坐标系与坐标变换——1.2 坐标系转换

□ 转换矩阵



从地球固联坐标系到机体坐标系的旋转可以通过三步来完成

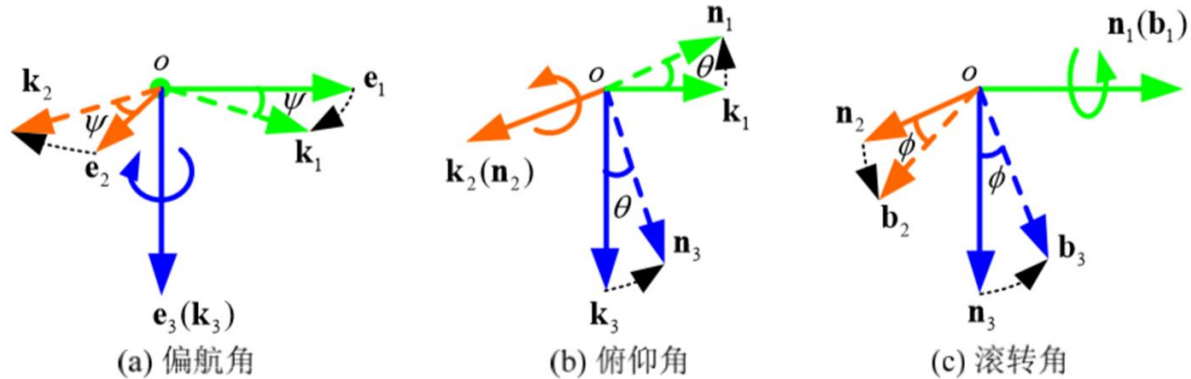
$$\begin{bmatrix} \mathbf{e}_1 \\ \mathbf{e}_2 \\ \mathbf{e}_3 \end{bmatrix} \xrightarrow{\mathbf{R}_z(\psi)} \begin{bmatrix} \mathbf{k}_1 \\ \mathbf{k}_2 \\ \mathbf{k}_3 = \mathbf{e}_3 \end{bmatrix} \xrightarrow{\mathbf{R}_y(\theta)} \begin{bmatrix} \mathbf{n}_1 \\ \mathbf{n}_2 = \mathbf{k}_2 \\ \mathbf{n}_3 \end{bmatrix} \xrightarrow{\mathbf{R}_x(\phi)} \begin{bmatrix} \mathbf{b}_1 = \mathbf{n}_1 \\ \mathbf{b}_2 \\ \mathbf{b}_3 \end{bmatrix},$$

其中

$$\mathbf{R}_z(\psi) \triangleq \begin{bmatrix} \cos \psi & \sin \psi & 0 \\ -\sin \psi & \cos \psi & 0 \\ 0 & 0 & 1 \end{bmatrix}, \mathbf{R}_y(\theta) \triangleq \begin{bmatrix} \cos \theta & 0 & -\sin \theta \\ 0 & 1 & 0 \\ \sin \theta & 0 & \cos \theta \end{bmatrix}, \mathbf{R}_x(\phi) \triangleq \begin{bmatrix} 1 & 0 & 0 \\ 0 & \cos \phi & \sin \phi \\ 0 & -\sin \phi & \cos \phi \end{bmatrix}$$

一、坐标系与坐标变换——1.2 坐标系转换

□ 转换矩阵



$$M_e^b = \begin{bmatrix} \cos \psi \cos \theta & -\sin \psi \cos \phi + \cos \psi \sin \theta \sin \phi & \sin \psi \sin \phi + \cos \psi \sin \theta \cos \phi \\ \sin \psi \cos \theta & \cos \psi \cos \phi + \sin \psi \sin \theta \sin \phi & -\cos \psi \sin \phi + \sin \psi \sin \theta \cos \phi \\ -\sin \theta & \cos \theta \sin \phi & \cos \theta \cos \phi \end{bmatrix}$$



一、坐标系与坐标变换——1.2 坐标系转换

□ 位置：WGS84坐标系（经纬高） $\begin{bmatrix} \lambda \\ \mu \\ h \end{bmatrix}$ 北东地 (NED) 坐标系 $\begin{bmatrix} X_E \\ Y_E \\ Z_E \end{bmatrix}$

□ 速度：NED坐标系 $\begin{bmatrix} \dot{X}_E \\ \dot{Y}_E \\ \dot{Z}_E \end{bmatrix} = \begin{bmatrix} U_E \\ V_E \\ W_E \end{bmatrix}$ $\begin{bmatrix} u \\ v \\ w \end{bmatrix}$ 机体坐标系

□ 角速度：NED坐标系 $\begin{bmatrix} \dot{\phi} \\ \dot{\theta} \\ \dot{\psi} \end{bmatrix} = \begin{bmatrix} \omega_x \\ \omega_y \\ \omega_z \end{bmatrix}$ $\begin{bmatrix} p \\ q \\ r \end{bmatrix}$ 机体坐标系

二、模型的基本数学描述

状态空间模型

系统类型

代数系统：当前输出只取决于当前输入

$$y = f(u) \quad \text{代数方程}$$

动力学系统：当前输出取决于当前输入和之前的输入

$$\dot{x} = f(x, u) \quad y = h(x, u) \quad \text{微分方程}$$

线性系统

如果系统输出可以像两个线性叠加的输入一样线性叠加，则称此动力系统为线性的。
(叠加原则)

$$u(t) = k \cdot u_1(t) + l \cdot u_2(t) \rightarrow y(t) = k \cdot y_1(t) + l \cdot y_2(t)$$

二、模型的基本数学描述

□ 传递函数

- 对线性单输入单输出系统分析和研究的基本数学工具
- 将为微分方程转化为代数方程——简化运算
- 传递函数可以推导出系统的频率特性

线性系统输入为 $u(t)$ ，输出为 $y(t)$ ，对应微分方程描述为：

$$(a_n p^n + a_{n-1} p^{n-1} + \cdots + a_1 p + a_0) y(t) = (b_n p^m + b_{n-1} p^{m-1} + \cdots + b_1 p + b_0) u(t)$$

$$n \text{ 阶微分算子 } p^n = \frac{d^n}{dt^n}$$

假设各阶导数处置均为0，对方程两端取拉普拉斯变换

$$(a_n s^n + a_{n-1} s^{n-1} + \cdots + a_1 s + a_0) Y(s) = (b_n s^m + b_{n-1} s^{m-1} + \cdots + b_1 s + b_0) U(s)$$

$y(t)$ 的拉普拉斯变换

$u(t)$ 的拉普拉斯变换

二、模型的基本数学描述

□ 传递函数

定义传递函数 $H(s)$ 如下

$$H(s) = \frac{b_n s^m + b_{n-1} s^{m-1} + \cdots + b_1 s + b_0}{a_n s^n + a_{n-1} s^{n-1} + \cdots + a_1 s + a_0}$$

那么对于给定系统的输入 $U(s)$ ，则系统输出完全取决于

$$Y(s) = H(s)U(s)$$

时域输出：

$$y(t) = L^{-1}[Y(s)] = L^{-1}[H(s)U(s)]$$

频域输出：

$$Y(j\omega) = H(j\omega)U(j\omega)$$



二、模型的基本数学描述

□ 状态空间模型

状态：完全地描述动态系统运动状况的信息，系统在某一时刻的运动状况可以用该时刻系统运动的一组信息表征，定义系统运动信息的集合。

状态变量：足以完全描述系统运动状态的最小个数的一组变量。

状态空间：以状态变量 $x_1(t), x_2(t), \dots, x_n(t)$ 为坐标轴所构成的 n 维空间。在特定的时刻 t ，状态向量 $X(t) = [x_1(t), x_2(t), \dots, x_n(t)]$ 是状态空间的一个点。

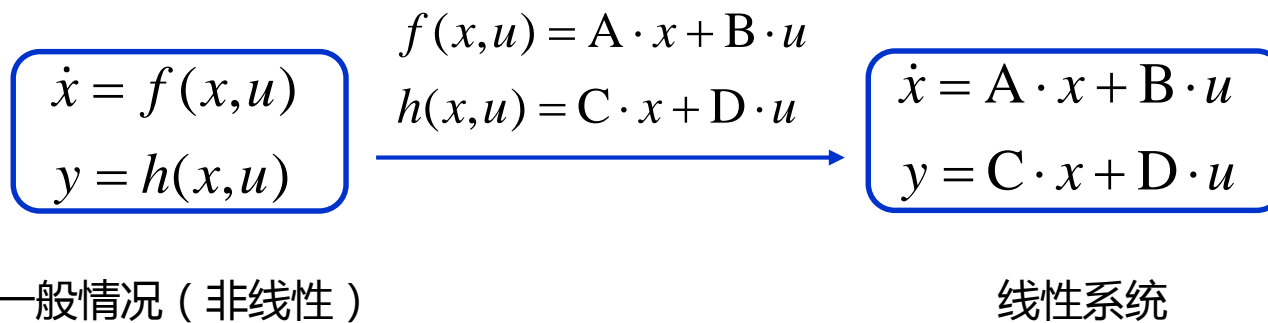
状态方程：描述系统状态变量与输入变量间关系的一阶微分方程组（连续系统）或一阶差分方程组（离散系统）。

输出方程：在指定系统输出的情况下，该输出变量与状态变量、输入变量之间的代数方程，成为系统的输出方程。

二、模型的基本数学描述



- 线性状态空间模型



线性连续时间系统状态空间表达式

$$\dot{\mathbf{x}}(t) = \mathbf{A}(t)\mathbf{x}(t) + \mathbf{B}(t)\mathbf{u}(t)$$

$$\mathbf{y}(t) = \mathbf{C}(t)\mathbf{x}(t) + \mathbf{D}(t)\mathbf{u}(t)$$

离散时间系统状态空间表达式

$$\mathbf{x}(k+1) = \mathbf{G}(k)\mathbf{x}(k) + \mathbf{H}(k)\mathbf{u}(k)$$

$$\mathbf{y}(k) = \mathbf{C}(k)\mathbf{x}(k) + \mathbf{D}(k)\mathbf{u}(k)$$

二、模型的基本数学描述

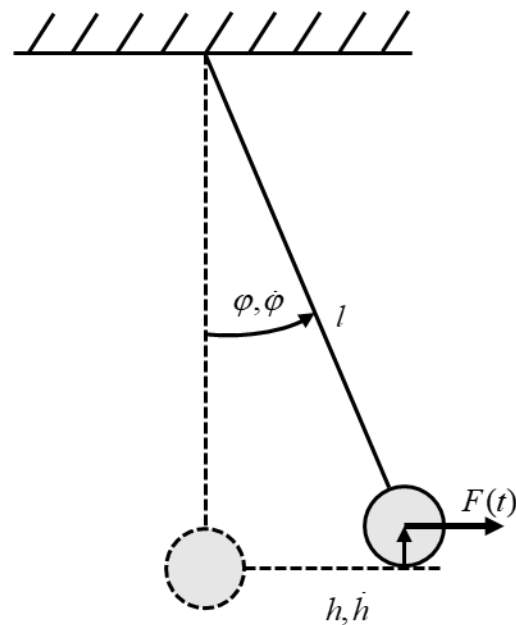
□ 例子

例子：单摆

- 系统为二阶系统→两个变量就足以完整地描述此系统。
- 状态变量的可能组合：

$$h, \dot{h} \text{ 或 } \varphi, \dot{\varphi}$$

$$\varphi, \dot{h} \text{ 或 } h, \dot{\varphi}$$



三、飞行器动力学建模与参数测量



飞行器建模基本概念

- 所有飞行器模型都是基于牛顿第二定律

$$\sum F = m \cdot a$$
$$\Rightarrow a = \frac{1}{m} \sum F$$

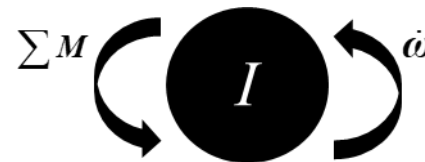


- 通过对时间积分得到速度和位置

$$v = \int a dt \quad x = \int v dt$$

- 力矩方程类似（基于角动量守恒定律）

$$\sum M = I \dot{\omega} + \omega \times (I \cdot \omega)$$
$$\Rightarrow \dot{\omega} = I^{-1} (\sum M - \omega \times (I \cdot \omega))$$



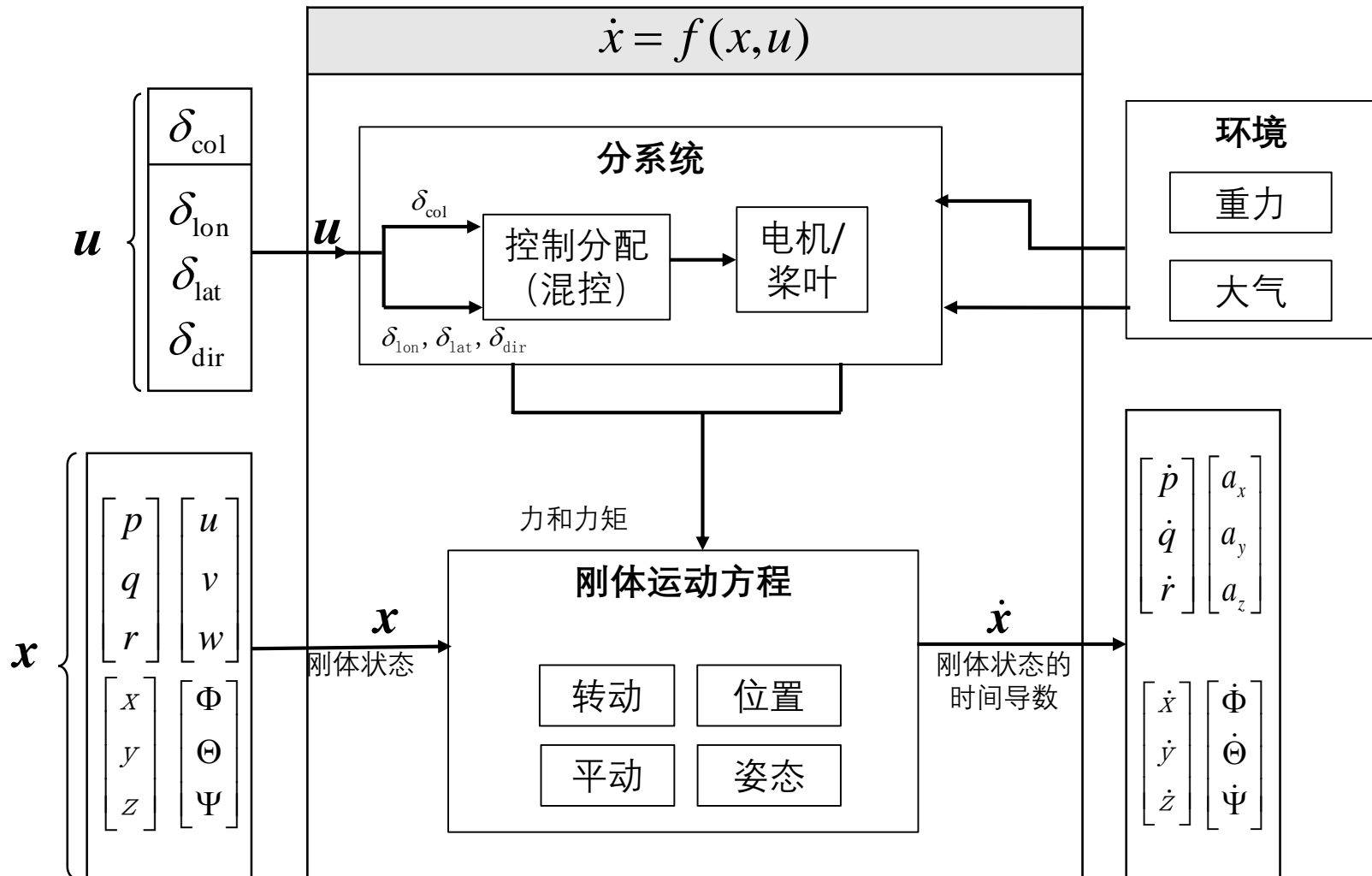
- 通过对时间积分得到角速度和姿态

$$\omega = \int \dot{\omega} dt \quad \Phi = \int \omega dt$$

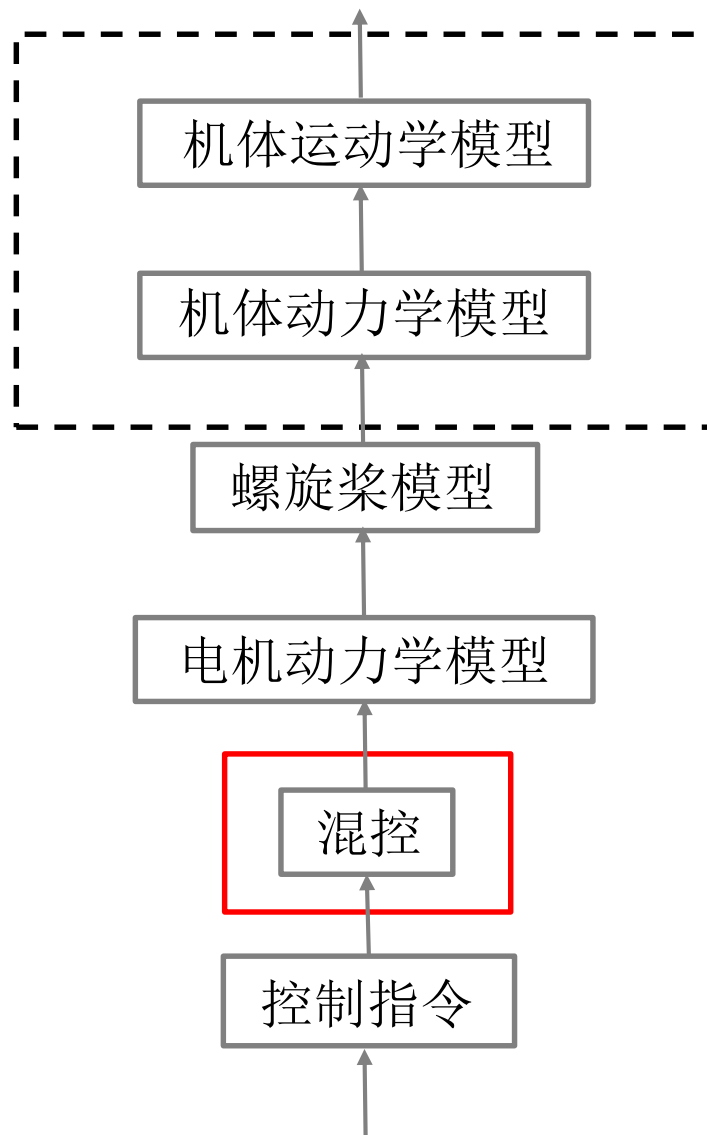
三、飞行器动力学建模与参数测量



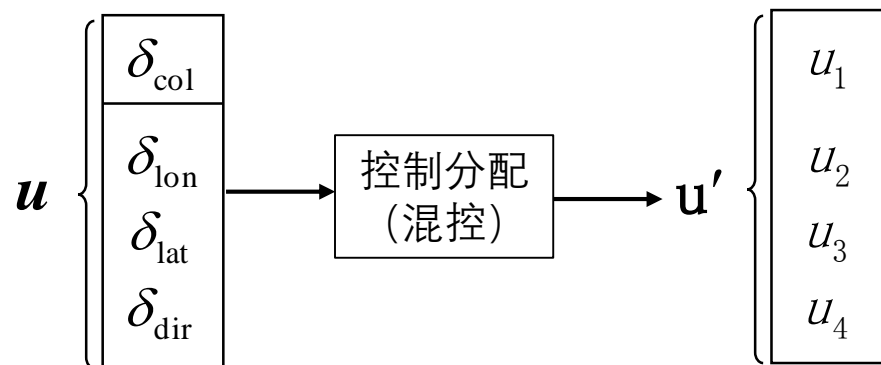
旋翼飞行器状态空间模型结构图



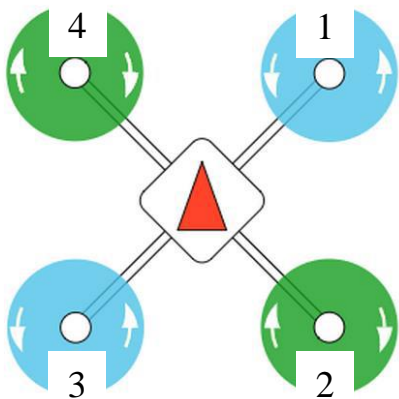
三、飞行器动力学建模与参数测量



三、飞行器动力学建模与参数测量



Quadrotor x



如何产生运动：

上升：4个电机同时加速

横滚：电机1和4加速，2和3减速

俯仰：电机2和4加速，1和3减速

航向：电机3和4加速，1和2减速

等效输入控制量：

合力 T

滚转力矩 L

俯仰力矩 M

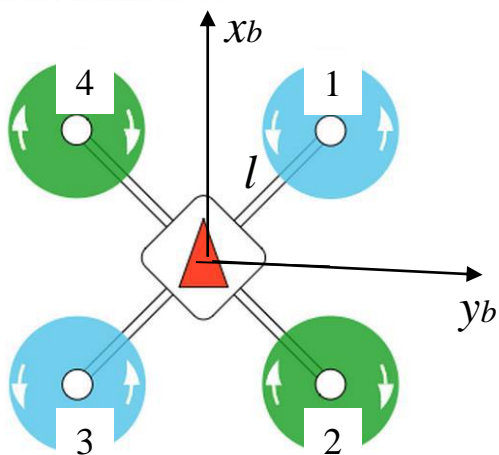
偏航力矩 N

三、飞行器动力学建模与参数测量



对于X型四旋翼

Quadrotor x



$$\begin{aligned}T &= T_1 + T_2 + T_3 + T_4 \\L &= -\frac{\sqrt{2}}{2}lT_1 - \frac{\sqrt{2}}{2}lT_2 + \frac{\sqrt{2}}{2}lT_3 + \frac{\sqrt{2}}{2}lT_4 \\M &= \frac{\sqrt{2}}{2}lT_1 - \frac{\sqrt{2}}{2}lT_2 - \frac{\sqrt{2}}{2}lT_3 + \frac{\sqrt{2}}{2}lT_4 \\N &= M_{T1} - M_{T2} + M_{T3} - M_{T4}\end{aligned}$$

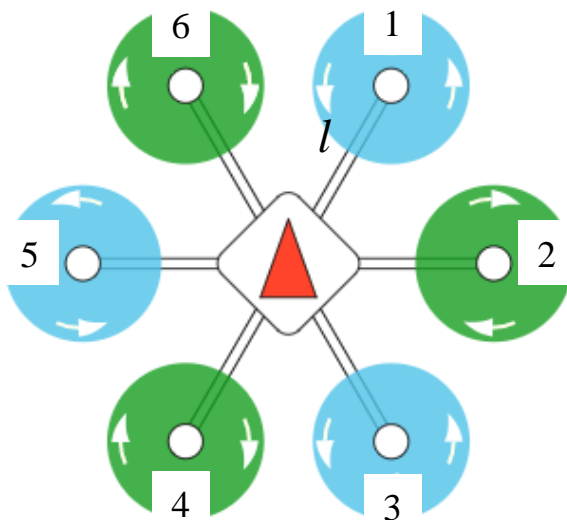
$$\begin{bmatrix} T \\ L \\ M \\ N \end{bmatrix} = \begin{bmatrix} 1 & 1 & 1 & 1 \\ -\frac{\sqrt{2}}{2}l & -\frac{\sqrt{2}}{2}l & \frac{\sqrt{2}}{2}l & \frac{\sqrt{2}}{2}l \\ \frac{\sqrt{2}}{2}l & -\frac{\sqrt{2}}{2}l & -\frac{\sqrt{2}}{2}l & \frac{\sqrt{2}}{2}l \\ \frac{\sqrt{2}}{2}l & -\frac{\sqrt{2}}{2}l & \frac{\sqrt{2}}{2}l & -\frac{\sqrt{2}}{2}l \end{bmatrix} \begin{bmatrix} T_1 \\ T_2 \\ T_3 \\ T_4 \end{bmatrix}$$

三、飞行器动力学建模与参数测量



对于六旋翼

Hexarotor x



$$\begin{aligned} T &= T_1 + T_2 + T_3 + T_4 + T_5 + T_6 \\ L &= -\frac{1}{2}lT_1 - lT_2 - \frac{1}{2}lT_3 + \frac{1}{2}lT_4 + lT_5 + \frac{1}{2}lT_6 \\ M &= \frac{\sqrt{3}}{2}lT_1 - \frac{\sqrt{3}}{2}lT_3 - \frac{\sqrt{3}}{2}lT_4 + \frac{\sqrt{3}}{2}lT_6 \\ N &= lT_1 - lT_2 + lT_3 - lT_4 + lT_5 - lT_6 \end{aligned}$$

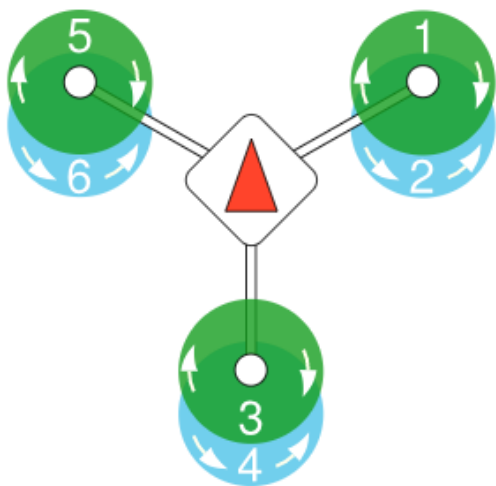
$$\begin{bmatrix} T \\ L \\ M \\ N \end{bmatrix} = \begin{bmatrix} 1 & 1 & 1 & 1 & 1 & 1 \\ -\frac{1}{2}l & -l & -\frac{1}{2}l & \frac{1}{2}l & l & \frac{1}{2}l \\ \frac{\sqrt{3}}{2}l & 0 & -\frac{\sqrt{3}}{2}l & -\frac{\sqrt{3}}{2}l & 0 & \frac{\sqrt{3}}{2}l \\ l & -l & l & -l & l & -l \end{bmatrix} \begin{bmatrix} T_1 \\ T_2 \\ T_3 \\ T_4 \\ T_5 \\ T_6 \end{bmatrix}$$

四个输入、六个输出，为欠驱动系统，**优化问题**

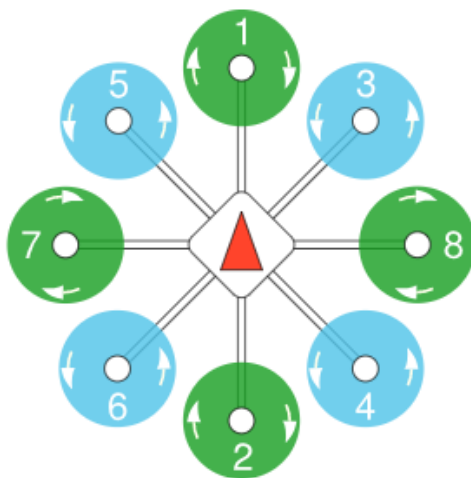
三、飞行器动力学建模与参数测量



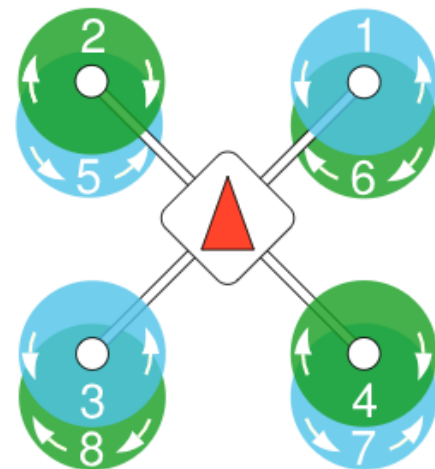
Hexarotor Coaxial



Octorotor +

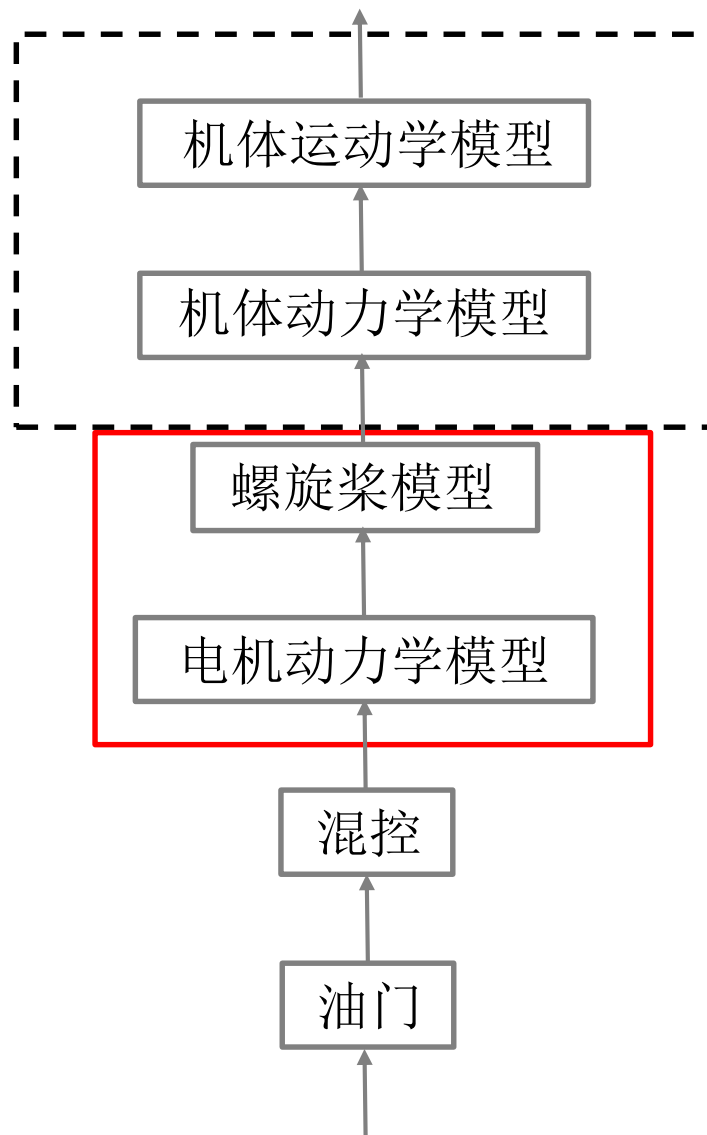


Octo Coax Wide

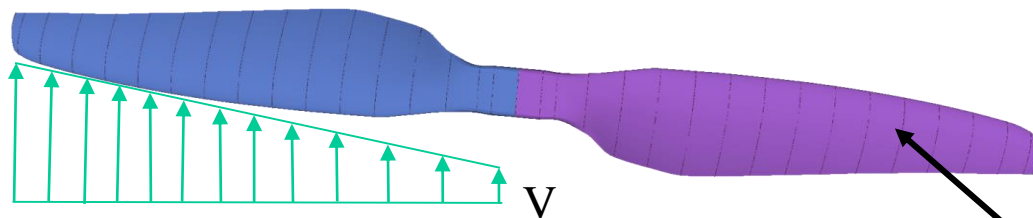


核心思想：如何分配每个电机和桨叶的控制量，实现更好的运动控制

三、飞行器动力学建模与参数测量



三、飞行器动力学建模与参数测量



相同点：每个截面都是一个翼型；

不同点：

机翼：截面安装角变化不大，每个截面来流速度基本相同；

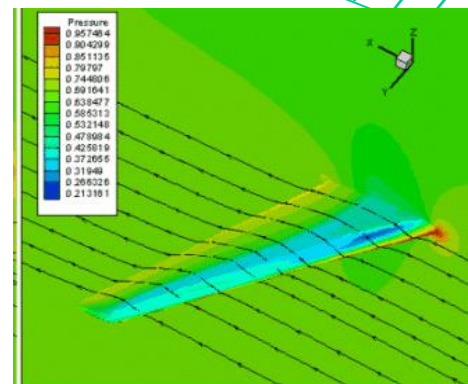
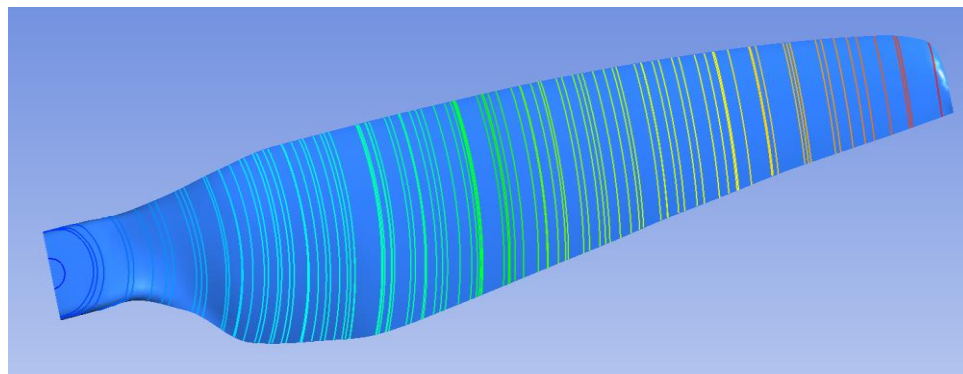
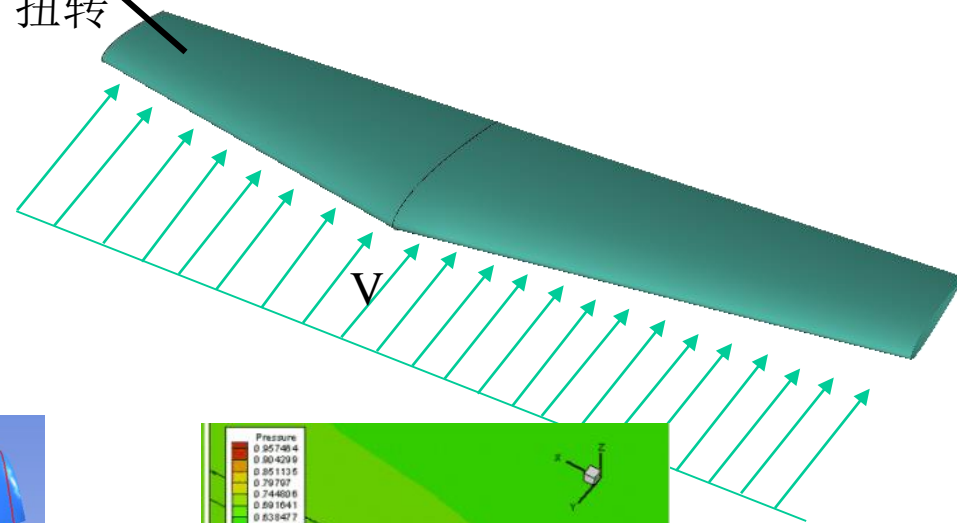
旋翼：截面安装角变化较大，每个截面的来流速度不一样；

?

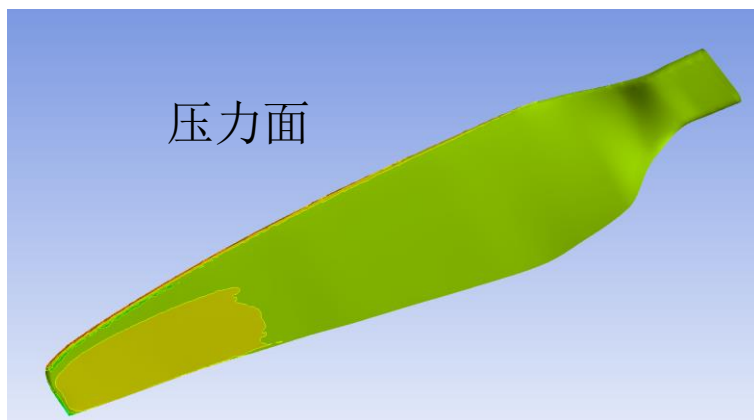
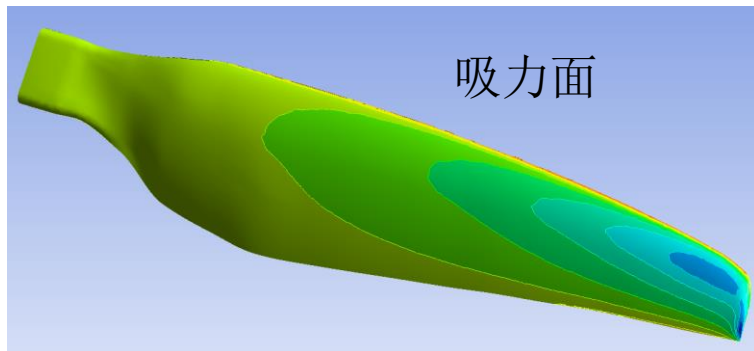
$$T = 1/2\rho(\Omega R)^2 C_T A$$

$$Q = 1/2\rho(\Omega R)^2 C_Q AR$$

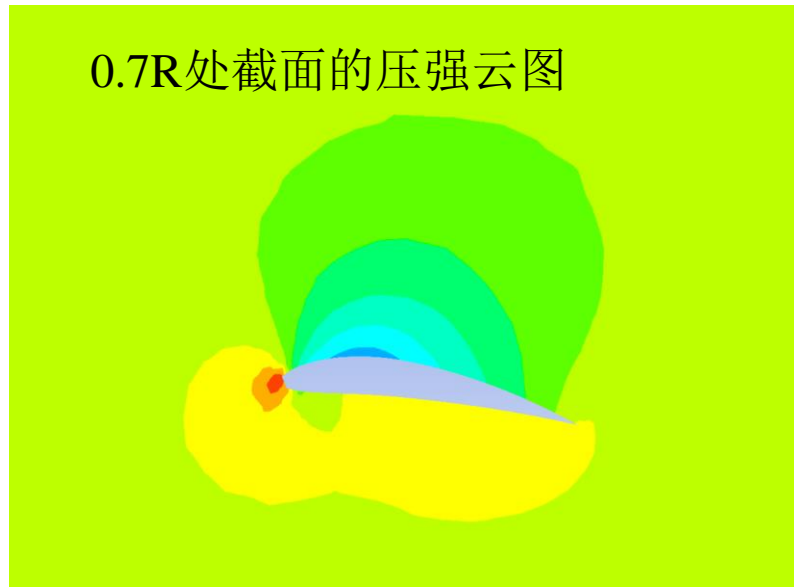
扭转



三、飞行器动力学建模与参数测量



0.7R处截面的压强云图



拉力：主要是上下表面压差直接产生的升力,可近似认为是每个截面升力的总和。

三、飞行器动力学建模与参数测量

□ 叶素理论

作用在叶素上的升力

$$dL = \frac{1}{2} \rho V^2 cl(\alpha_r) b dr$$

作用在叶素上的阻力

$$dD = \frac{1}{2} \rho V^2 cd(\alpha_r) b dr$$

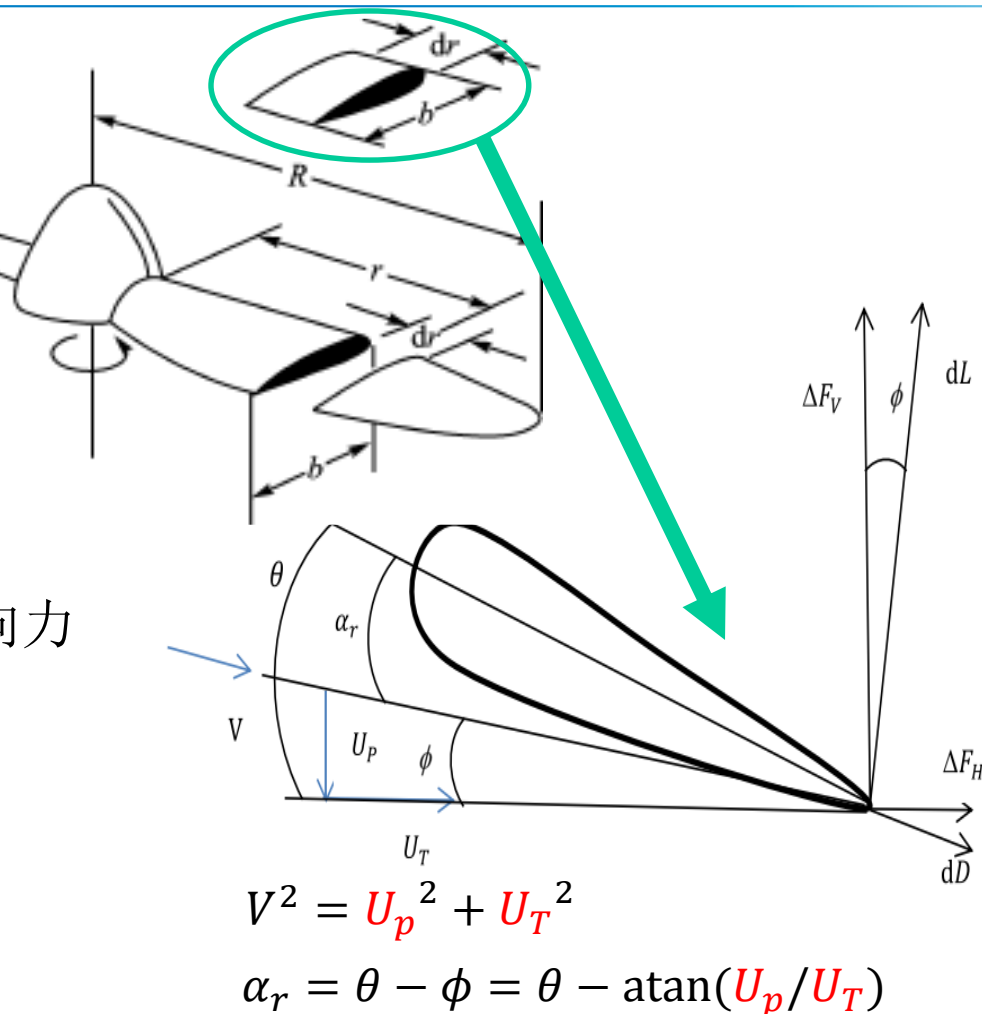
作用在叶素上的有效拉力和环向力

$$\Delta F_V = dL \cos \phi - dD \sin \phi$$

$$\Delta F_H = dL \sin \phi + dD \cos \phi$$

cl , cd 与截面翼型形状相关

对于给定螺旋桨, b 已知、 θ 已知, 变量 cl 和 $cd = f(\alpha_r) = f(\theta - \text{atan}(U_p/U_T))$, $V^2 = U_p^2 + U_T^2$, 因此叶素的拉力和扭矩只和 U_p , U_T 有关。



三、飞行器动力学建模与参数测量



U_p , U_T 与那些项相关?



悬停



前飞

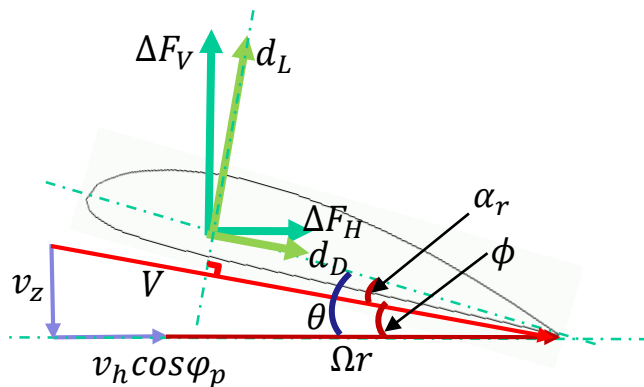
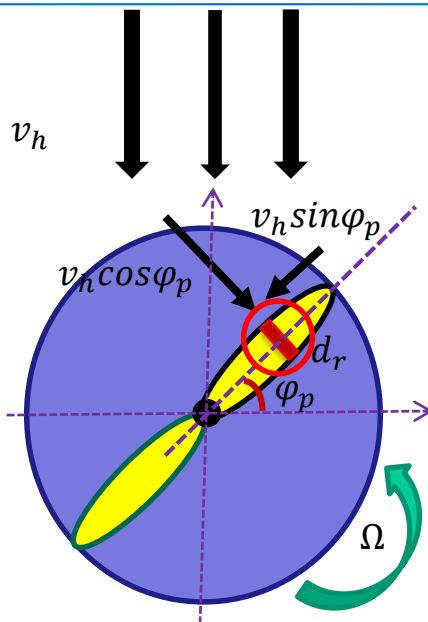
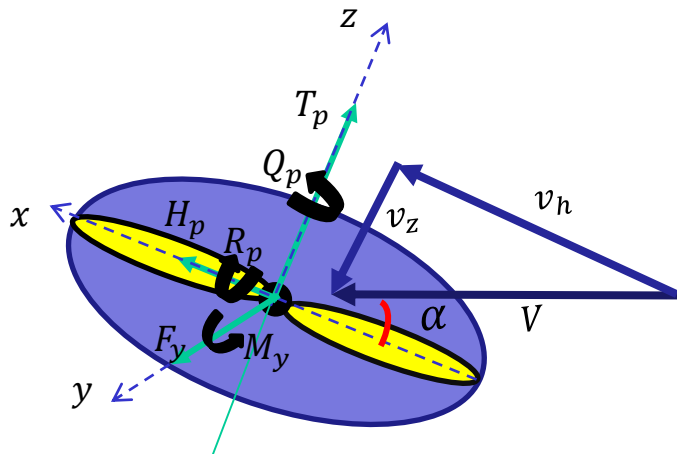
- 与无人机飞行状态相关
 - 飞行速度
 - 飞行角度
- 与旋翼桨叶转速相关
- 与大气环境有关



三、飞行器动力学建模与参数测量



□ 叶素理论



$$U_p = v_z$$

$$U_T = v_h \cos \varphi_p + \Omega r$$

先沿着叶素轴向积分，再沿方位角积分（桨叶旋转一圈的平均值）可得旋翼桨叶的气动力模型为：

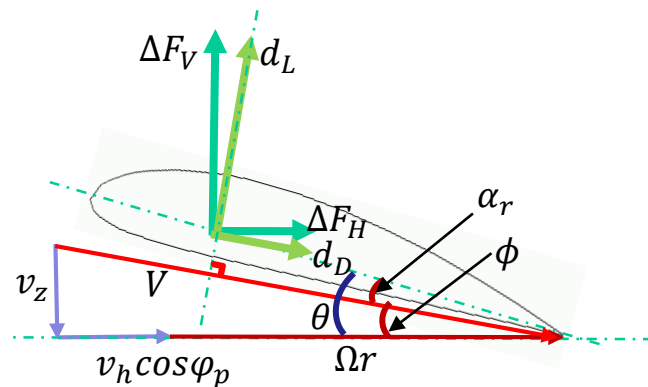
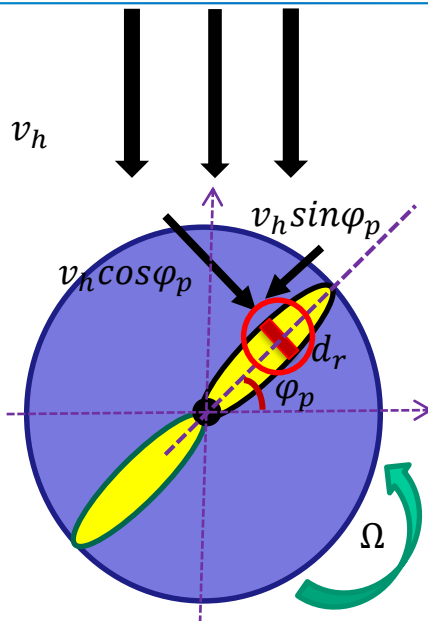
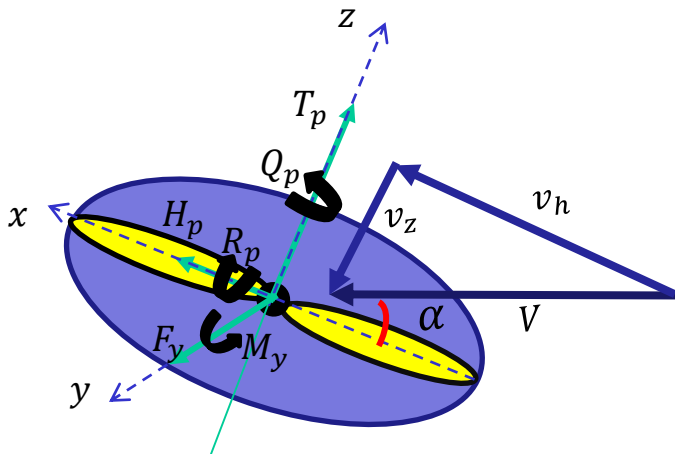
$$\text{垂直于桨盘拉力 } T_p = N \frac{\iint \Delta F_V(\varphi_p) dr d\varphi_p}{2\pi}$$

$$\text{平行于桨盘阻力 } H_p = N \frac{\iint \Delta F_H(\varphi_p) \cos \varphi_p dr d\varphi_p}{2\pi}$$

$$\text{平行于桨盘的侧向力 } F_y = N \frac{\iint \Delta F_H(\varphi_p) \sin \varphi_p dr d\varphi_p}{2\pi} = 0$$

三、飞行器动力学建模与参数测量

□ 叶素理论



$$U_p = v_z$$

$$U_T = v_h \cos \phi_p + \Omega r$$

先沿着叶素轴向积分，再沿方位角积分（桨叶旋转一圈的平均值）可得旋翼桨叶的气动力模型为：

$$\text{滚转力矩 } R_p = N \frac{\iint r \Delta F_V(\phi_p) \cos \phi_p dr d\phi_p}{2\pi}$$

$$\text{扭矩 } Q_p = N \frac{\iint r \Delta F_H(\phi_p) dr d\phi_p}{2\pi}$$

$$\text{俯仰力矩 } M_y = N \frac{\iint r \Delta F_V(\phi_p) \sin \phi_p dr d\phi_p}{2\pi} = 0$$

三、飞行器动力学建模与参数测量



假设：

① 桨叶线性负扭转，桨叶任意 r 处的安装角为 θ ， θ_0 为翼根安装角。

$$\theta = \theta_0 + \theta_T r$$

② 翼型升力系数在一定范围内是线性变化， a_s 为翼型升力系数随攻角变化的斜率。

$$cl = a_s (\alpha - \alpha_0)$$

③ 翼型阻力系数在一定范围内是一个常值（不随攻角变化而变化）：

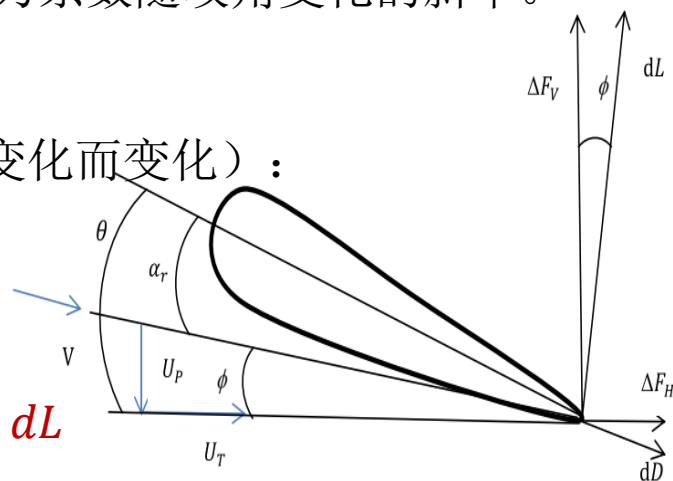
$$cd \equiv \overline{cd}$$

④ 叶素升阻力近似（悬停/低速前飞模态）

$$\Delta F_V = dL \cos \phi - dD \sin \phi \approx dL$$

$$\Delta F_H = dL \sin \phi + dD \cos \phi \approx \phi dL + dD$$

⑤ 叶素俯仰力矩为0。



三、飞行器动力学建模与参数测量



- 拉力可表示为:

$$T = \Omega^2 \left(\frac{1}{6} \rho A \sigma a_s \theta_0 R^2 \right) + (V \cos \alpha)^2 \left(\frac{1}{4} \rho A \sigma a_s \theta_0 + \frac{1}{8} \rho A \sigma a_s \theta_T \right) + (V \sin \alpha) \left(-\frac{1}{4} \rho A \sigma a_s R \right)$$

其中:

$$A = \pi R^2, \quad \sigma = \frac{N \overline{C}}{\pi R}$$

桨叶实度 平均弦长

该等式可简化为:

$$T = t_1 \Omega^2 + t_2 (V \cos \alpha)^2 + t_3 \Omega (V \sin \alpha)$$

平行与桨平面的动压
桨平面相对来流的角度
来流速度
垂直于桨平面来流与转速耦合速度

- 平行与桨盘的阻力可表示为:

$$H = \Omega V \cos \alpha \left(\frac{1}{4} \rho A \sigma \overline{C_d} R \right) + (V^2 \cos \alpha \sin \alpha) \left(\frac{1}{4} \rho A \sigma a_s \left(\theta_0 + \frac{\theta_T}{2} \right) \right)$$

同理可简化为:

$$H = h_1 (\Omega V \cos \alpha) + h_2 V^2 \cos \alpha \sin \alpha$$

三、飞行器动力学建模与参数测量



- 扭矩可表示为:

$$Q = \Omega^2 \left(\frac{1}{8} \rho A \sigma \overline{C_d} R^3 \right) + (V \cos \alpha)^2 \left(\frac{1}{8} \rho A \sigma R \overline{C_d} \right) + (\Omega V \sin \alpha) \left(\frac{1}{4} \rho A \sigma a_s \theta_0 R^2 + \frac{1}{8} \rho A \sigma a_s \theta_T R^2 \right) + (V \sin \alpha)^2 \left(-\frac{1}{4} \rho A \sigma a_s R \right)$$

该等式可简化为:

$$Q = q_1 \Omega^2 + q_2 (V \cos \alpha)^2 + q_3 \Omega (V \sin \alpha) + q_4 (V \sin \alpha)^2$$

- 滚转力矩可表示为:

$$R = \Omega R V \cos \alpha \left(-\frac{1}{6} \rho A \sigma a_s \theta_0 R^2 - \frac{1}{8} \rho A \sigma a_s \theta_T R^2 \right) + (V^2 \cos \alpha \sin \alpha) \left(\frac{1}{8} \rho A \sigma a_s R \right)$$

同理可简化为:

$$R = r_1 (\Omega V \cos \alpha) + r_2 V^2 \cos \alpha \sin \alpha$$

在悬停状态下, $V=0$, $\alpha=0$; 则拉力可写为 $T = t_1 \Omega^2$

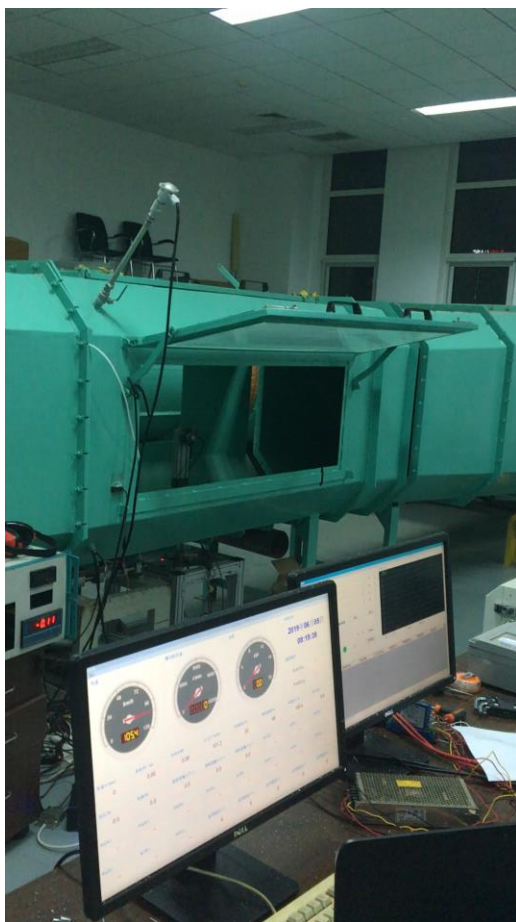
扭矩可写为: $Q = q_1 \Omega^2$

给定桨叶产生的力和力矩和来流速度 V 、来流角度 α 、转速 Ω 相关
可表示为**线性最小二乘**问题

三、飞行器动力学建模与参数测量



风洞试验



跑车试验



Variable	Range	Unit
Ω	2500:500:6500	<i>rpm</i>
V	0:10:30	<i>m/s</i>
α_p	0:10:30	<i>deg</i>



拉力

扭矩

阻力

滚转力矩

三、飞行器动力学建模与参数测量



采用最小二乘法进行对试验所得数据进行处理；

以拉力为例子：

$$T = t_1 \Omega^2 + t_2 (V \cos \alpha)^2 + t_3 \Omega (V \sin \alpha) \quad \theta = [t_1 \quad t_2 \quad t_3]^T$$

则此时X, y分别表示为：

$$\mathbf{X} = \begin{bmatrix} \Omega^2_1 & (V \cos \alpha)^2_1 & \Omega(V \sin \alpha)_1 \\ \Omega^2_2 & (V \cos \alpha)^2_2 & \Omega(V \sin \alpha)_2 \\ \dots & \dots & \dots \\ \Omega^2_n & (V \cos \alpha)^2_n & \Omega(V \sin \alpha)_n \end{bmatrix} \quad \mathbf{z} = \begin{bmatrix} T_1 \\ T_2 \\ \dots \\ T_n \end{bmatrix} \quad y = \mathbf{X}\theta$$

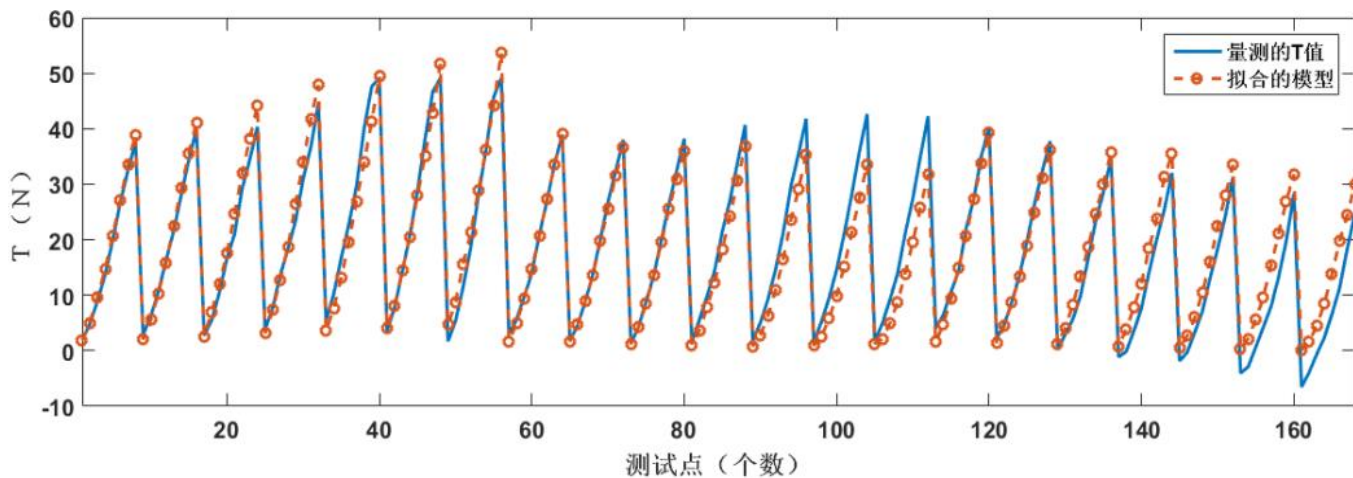
$$\hat{\theta} = (\mathbf{X}^T \mathbf{X})^{-1} \mathbf{X}^T \mathbf{z}$$

三、飞行器动力学建模与参数测量



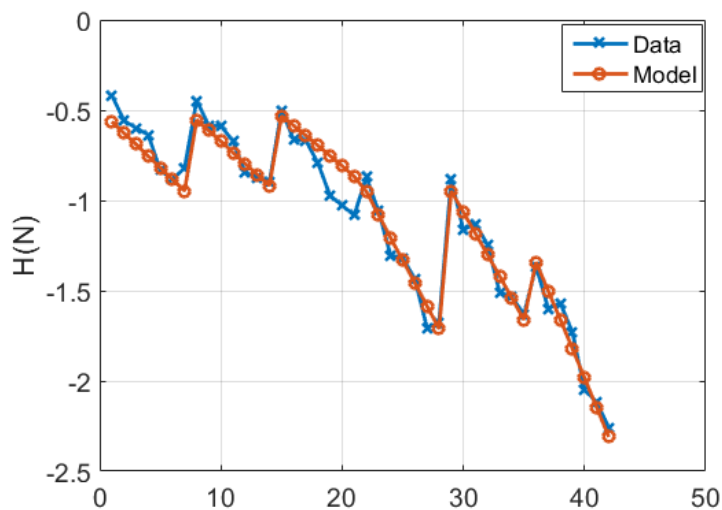
拉力模型

$$T = t_1 \Omega^2 + t_2 (V \cos \alpha)^2 + t_3 \Omega (V \sin \alpha)$$



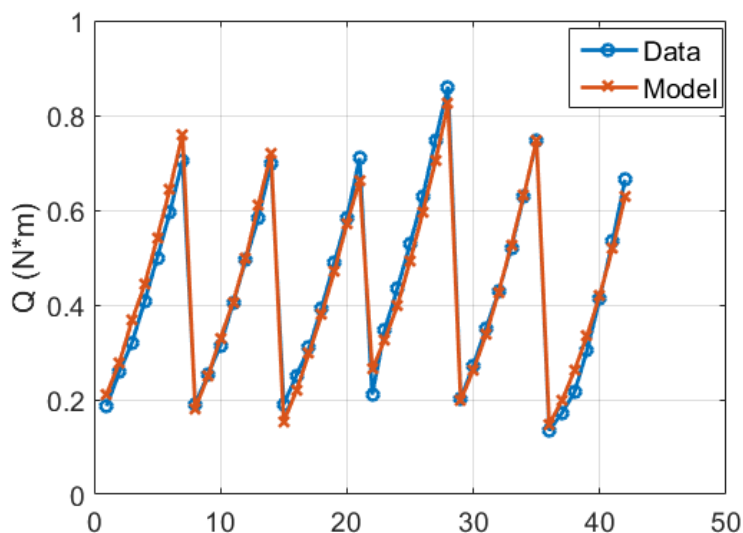
$$T = 1.684 \times 10^{-6} \Omega^2 + 3.451 \times 10^{-3} (V \cos \alpha)^2 - 2.507 \times 10^{-4} \Omega (V \sin \alpha)$$

三、飞行器动力学建模与参数测量



阻力模型

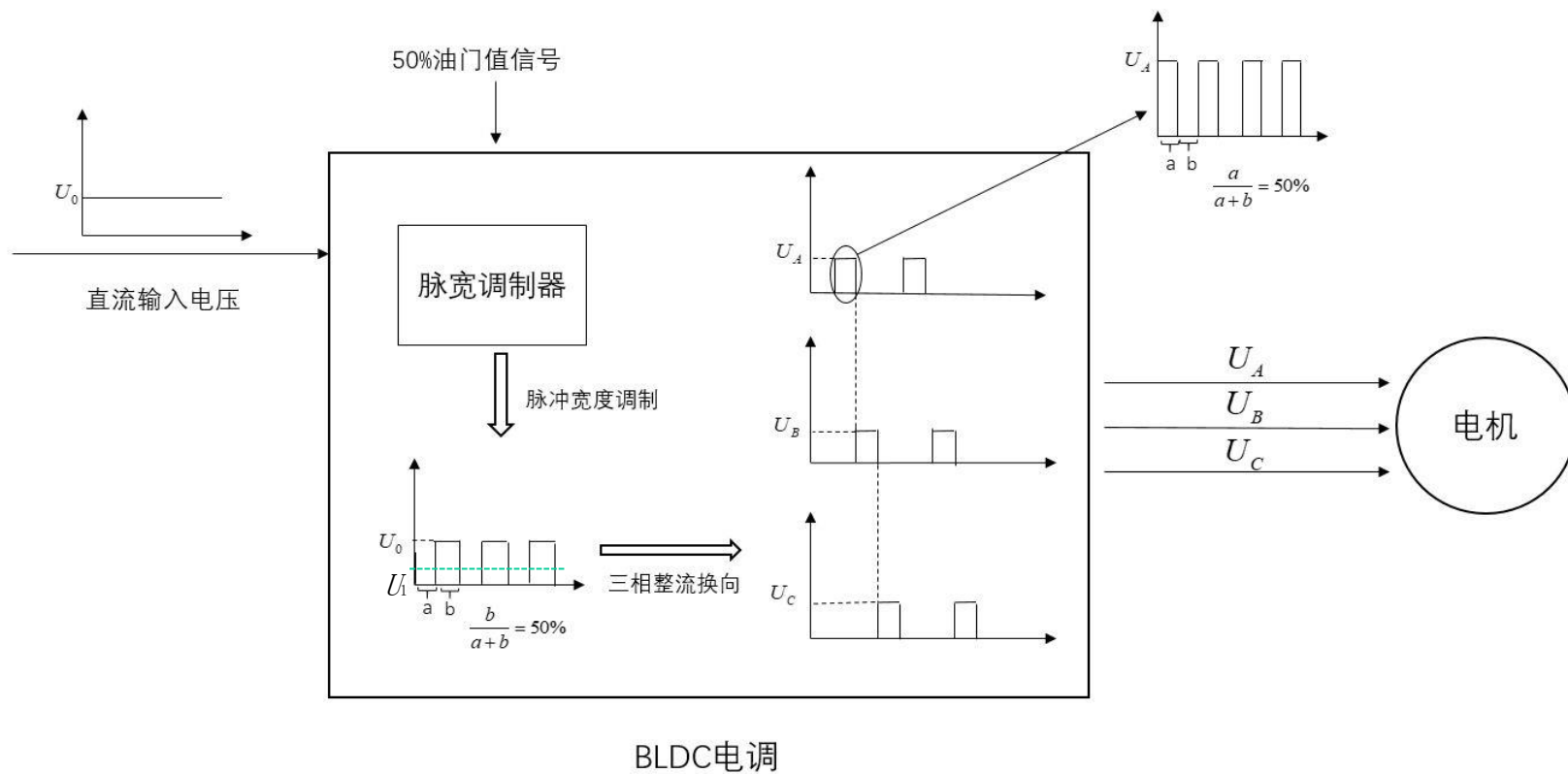
$$H = 1.088 \times 10^{-5}(\Omega V \cos \alpha) + 8.427 \times 10^{-4} V \cos \alpha (v_i + V \sin \alpha)$$



扭矩模型

$$Q = 2.206 \times 10^{-8} \Omega^2 + 4.809 \times 10^{-5} (V \cos \alpha)^2 - 7.609 \times 10^{-7} \Omega (v_i + V \sin \alpha) - 8.006 \times 10^{-8} \Omega (v_i + V \sin \alpha)^2$$

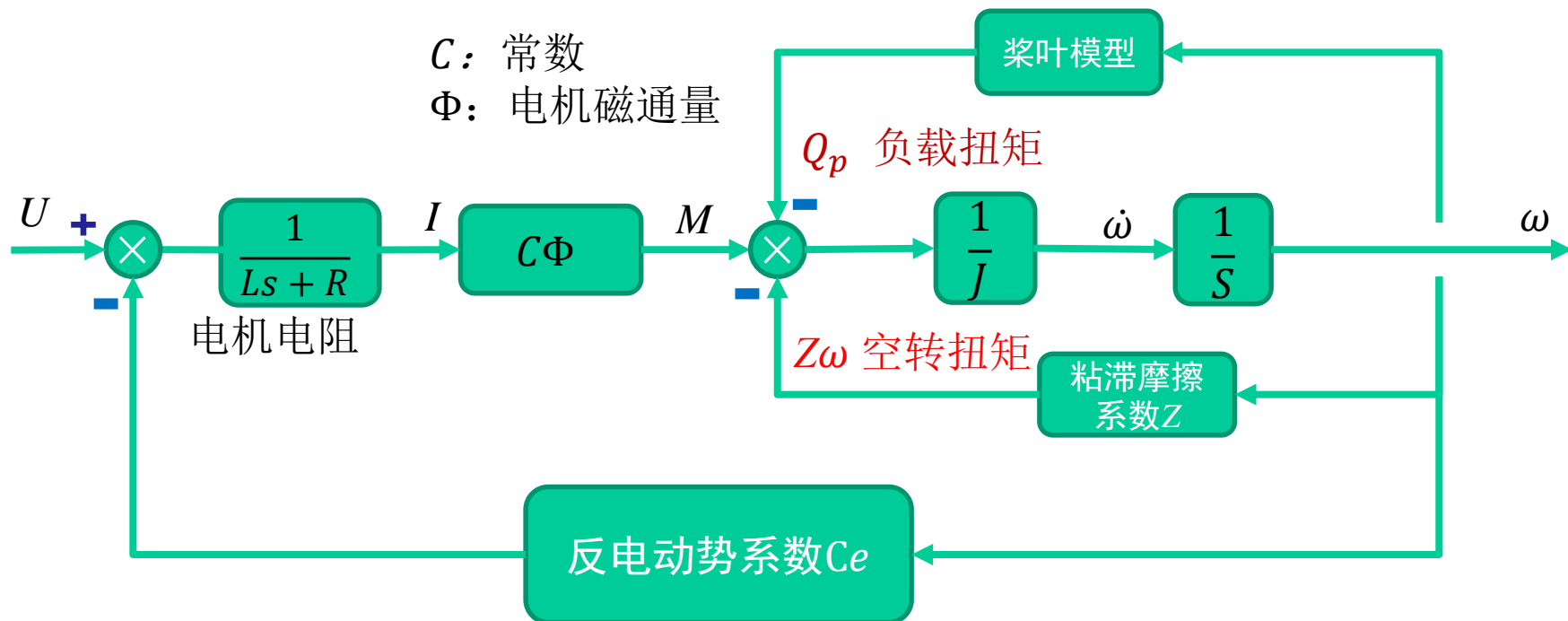
三、飞行器动力学建模与参数测量



经调制后的有效电压为 $U_1 = U_0 \times 50\%$

$$U_A = U_B = U_C = \frac{U_1}{\sqrt{3}}$$

三、飞行器动力学建模与参数测量



电机力矩平衡方程

$$J\dot{\omega} = M - Q_p$$

由基尔霍夫电压定律，得到电机的电压动态平衡方程为

$$U = RI + L \frac{d}{dt} I - \omega Ce$$

电磁的转矩为

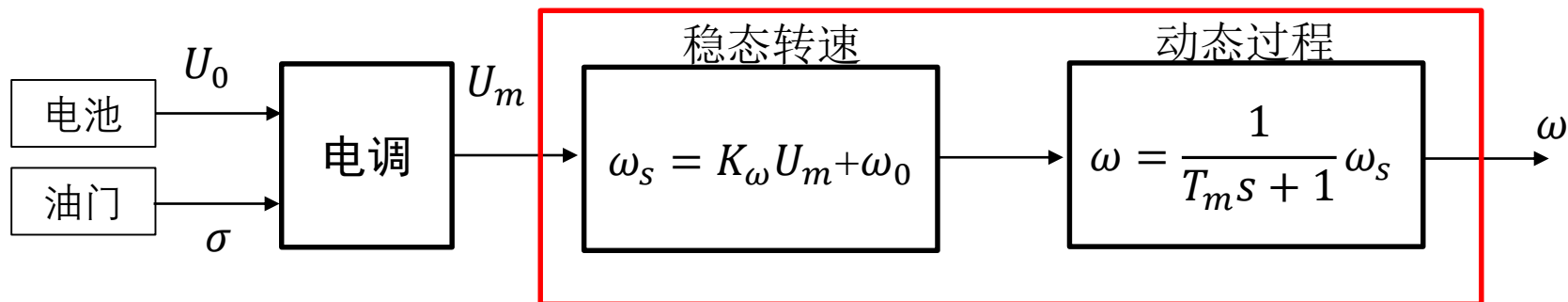
$$M = C\Phi I$$

三、飞行器动力学建模与参数测量



电机的传递函数为

$$\omega(s) = \frac{\frac{1}{Ce}}{T_ms + 1} U(s) - \frac{\frac{R}{C\Phi Ce}}{T_ms + 1} Q_p$$



三、飞行器动力学建模与参数测量



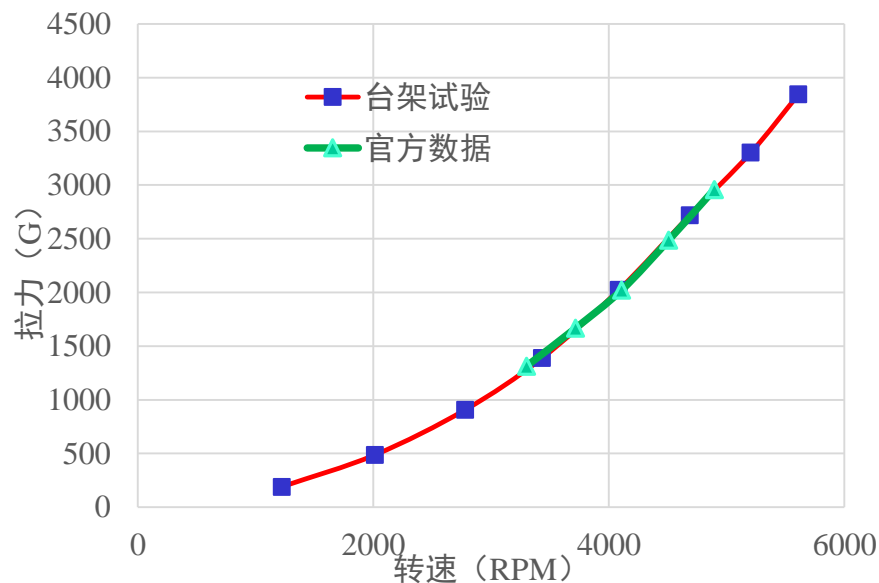
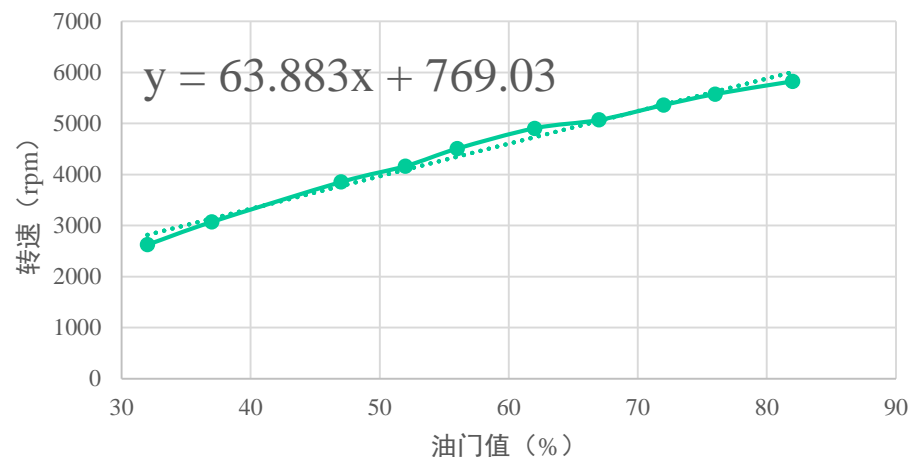
全权 北航 多旋翼飞行器设计与控制

三、飞行器动力学建模与参数测量



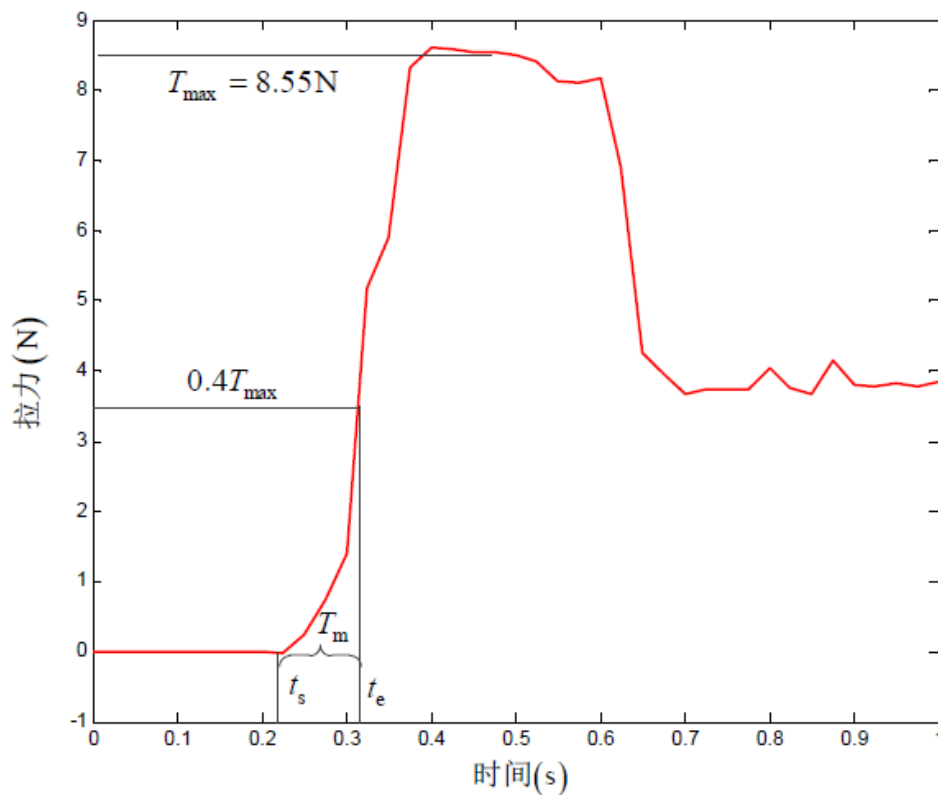
$$\omega_s = K_\omega U_m + \omega_0$$

转速与油门关系曲线



30%-80%油门内，呈近似线性关系

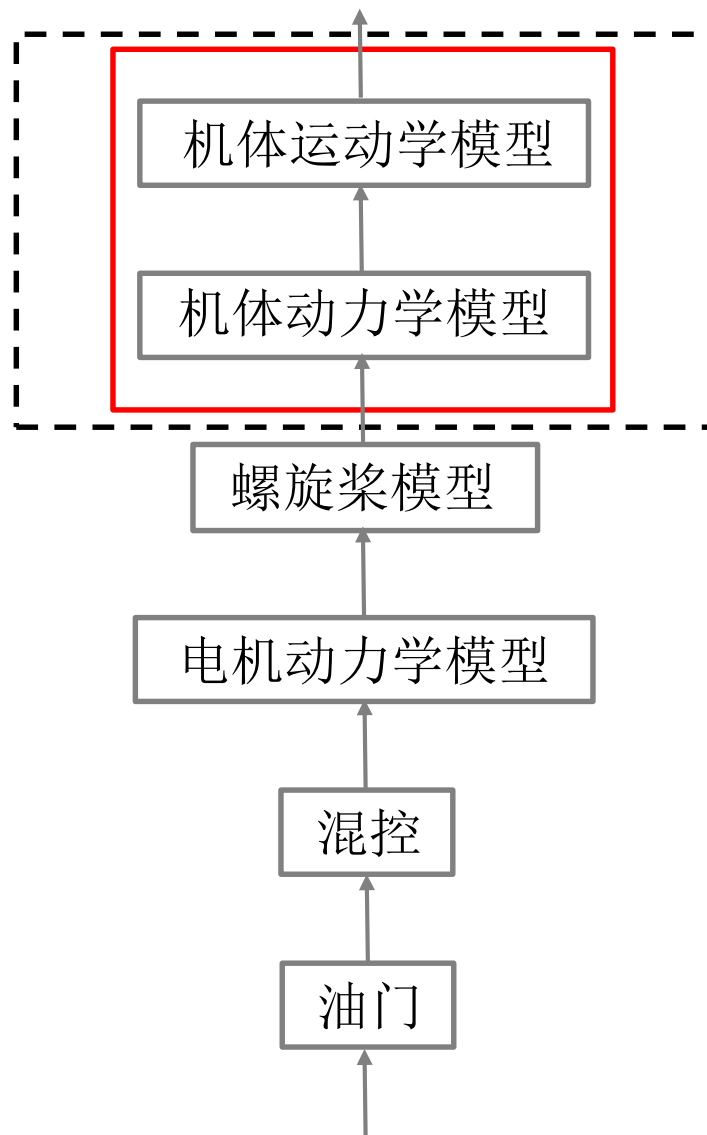
三、飞行器动力学建模与参数测量



$$\frac{1}{T_m s + 1}$$

$$T_m = 0.098s$$

三、飞行器动力学建模与参数测量



三、飞行器动力学建模与参数测量——动力学方程



动量定理: $Ft = m\Delta V$

质心动力学方程: $\sum \mathbf{F} = \frac{d}{dt}(m\mathbf{V})\Big|_E = \frac{d}{dt}(m\mathbf{V})\Big|_B + m\boldsymbol{\omega} \times \mathbf{V}$

机体坐标系下投影:
$$\begin{bmatrix} F_x \\ F_y \\ F_z \end{bmatrix}_B = m \begin{bmatrix} \dot{u} \\ \dot{v} \\ \dot{w} \end{bmatrix} + m \begin{bmatrix} qw - rv \\ ru - pw \\ pv - qu \end{bmatrix}$$

绕质心转动方程: $\sum \mathbf{M} = \frac{d}{dt}\mathbf{H}\Big|_E = \frac{d}{dt}\mathbf{H}\Big|_B + \boldsymbol{\omega} \times \mathbf{H} \quad \mathbf{H} = \mathbf{J} \boldsymbol{\omega}$

机体坐标系下投影:
$$\begin{bmatrix} L \\ M \\ N \end{bmatrix} = \begin{bmatrix} I_x & -I_{xy} & -I_{xz} \\ -I_{xy} & I_y & -I_{yz} \\ -I_{xz} & -I_{yz} & I_z \end{bmatrix} \begin{bmatrix} \dot{p} \\ \dot{q} \\ \dot{r} \end{bmatrix} + \begin{bmatrix} qH_z - rH_y \\ rH_x - pH_z \\ pH_y - qH_x \end{bmatrix}$$

三、飞行器动力学建模与参数测量——动力学方程



力：重力 NED 坐标系 $\mathbf{G} = \begin{bmatrix} 0 \\ 0 \\ mg \end{bmatrix} \Big|_E$

桨叶力 $\mathbf{F}_p = \begin{bmatrix} -H_p \cos \beta \\ -H_p \sin \beta \\ T_p \end{bmatrix} \Big|_B$ (见桨叶建模)

$$\text{机身力 } \mathbf{F}_f = \begin{bmatrix} X_f \\ Y_f \\ Z_f \end{bmatrix} \Big|_B = \begin{bmatrix} -D_f \cos \beta \\ -D_f \sin \beta \\ T_f \end{bmatrix} \Big|_B = \begin{bmatrix} -\frac{1}{2} \rho V^2 C_X S \cos \beta \\ -\frac{1}{2} \rho V^2 C_X S \sin \beta \\ \frac{1}{2} \rho V^2 C_Z S \end{bmatrix} \Big|_B$$

(悬停时为 $V=0$ ，侧滑角 $\beta=0$)

三、飞行器动力学建模与参数测量——动力学方程



$$\begin{bmatrix} F_x \\ F_y \\ F_z \end{bmatrix}_B = \begin{pmatrix} \left(-\sum_{i=1}^4 H_i \right) \cos \beta - \frac{1}{2} \rho S C_x \cos \beta V^2 \\ \left(-\sum_{i=1}^4 H_i \right) \sin \beta - \frac{1}{2} \rho S C_x \sin \beta V^2 \\ -\sum_{i=1}^4 T_i - \frac{1}{2} \rho S C_z V^2 \end{pmatrix} + \begin{bmatrix} -g \sin \theta \\ g \sin \phi \cos \theta \\ g \cos \phi \cos \theta \end{bmatrix}_B$$

桨叶产生的力 机身产生的力 重力分量

动力学方程

$$\begin{bmatrix} \dot{u} \\ \dot{v} \\ \dot{w} \end{bmatrix} = \frac{1}{m} \begin{bmatrix} F_x \\ F_y \\ F_z \end{bmatrix}_B - \begin{bmatrix} qw - rv \\ ru - pw \\ pv - qu \end{bmatrix}$$

控制四个电机转速 Ω_i ，产生 T_{pi} 和 H_{pi} ，实现 F_x 、 F_y 、 F_z 的变化，最终实现对 u 、 v 、 w 的控制

三、飞行器动力学建模与参数测量——运动学方程



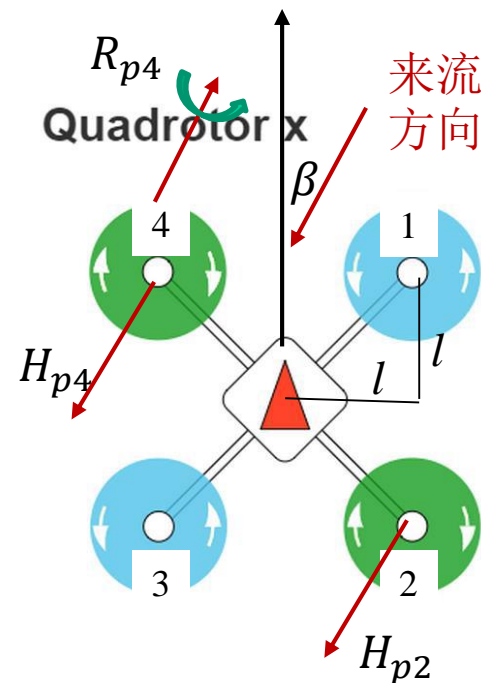
力矩:

$$\text{桨叶力矩 } \mathbf{M}_p = \begin{bmatrix} \sum (-1)^i R_{pi} \cos \beta \\ \sum (-1)^i R_{pi} \sin \beta \\ \sum (-1)^i Q_{pi} \end{bmatrix} \Big|_B + \begin{bmatrix} \sum (T_p^{34} - T_p^{12}) l - h \sum H_{pi} \sin \beta \\ \sum (T_p^{14} - T_p^{23}) l + h \sum H_{pi} \cos \beta \\ 0 \end{bmatrix} \Big|_B$$

(见桨叶建模)

l : 为每个电机与质心的距离在纵向平面内投影内的距离

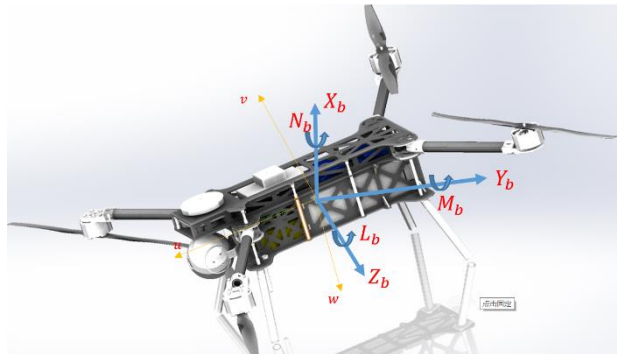
h : 为桨平面与质心之间的距离



三、飞行器动力学建模与参数测量——运动学方程



$$\text{机身力矩 } \mathbf{M}_b = \begin{bmatrix} L_b \\ M_b \\ N_b \end{bmatrix}_B = \begin{bmatrix} m_x(\alpha, \beta) \cdot \frac{1}{2} \rho V^2 \cdot S \\ m_y(\alpha, \beta) \cdot \frac{1}{2} \rho V^2 \cdot S \\ m_z(\alpha, \beta) \cdot \frac{1}{2} \rho V^2 \cdot S \end{bmatrix}_B$$



陀螺力矩 \mathbf{M}_G 和阻尼力矩 \mathbf{M}_ω :

$$\begin{aligned} \mathbf{M} = \mathbf{M}_\omega + \mathbf{M}_G &= \begin{bmatrix} m_x^{\omega_x} \omega_x q S l^2 / V \\ m_y^{\omega_y} \omega_y q S l^2 / V \\ m_z^{\omega_z} \omega_z q S l^2 / V \end{bmatrix}_B + J_{pz} \cdot \boldsymbol{\omega} \times \boldsymbol{\Omega} \\ &= \begin{bmatrix} m_x^{\omega_x} \omega_x q S L^2 / V \\ m_y^{\omega_y} \omega_y q S L^2 / V \\ m_z^{\omega_z} \omega_z q S L^2 / V \end{bmatrix}_B + \begin{bmatrix} J_{pz} q \Omega_t \\ J_{pz} p \Omega_t \\ J_{pz} \dot{\Omega}_t \end{bmatrix}_B \end{aligned}$$

其中: $\Omega_t = \Omega_1 - \Omega_2 + \Omega_3 - \Omega_4$

三、飞行器动力学建模与参数测量——运动学方程



$$\sum \mathbf{M} = \left[\begin{array}{c} L \\ M \\ N \end{array} \right] \Big|_B = \mathbf{M}_p + \mathbf{M}_b + \mathbf{M}_\omega + \mathbf{M}_G$$

$$\left[\begin{array}{c} L \\ M \\ N \end{array} \right] = \mathbf{M}_p + \mathbf{M}_b + \mathbf{M}_\omega + \mathbf{M}_G = \left[\begin{array}{ccc} I_x & -I_{xy} & -I_{xz} \\ -I_{xy} & I_y & -I_{yz} \\ -I_{xz} & -I_{yz} & I_z \end{array} \right] \left[\begin{array}{c} \dot{p} \\ \dot{q} \\ \dot{r} \end{array} \right] + \left[\begin{array}{c} qH_z - rH_y \\ rH_x - pH_z \\ pH_y - qH_x \end{array} \right]$$

运动学方程

运动学方程

$$\left[\begin{array}{c} \dot{p} \\ \dot{q} \\ \dot{r} \end{array} \right] = \left[\begin{array}{ccc} I_x & -I_{xy} & -I_{xz} \\ -I_{xy} & I_y & -I_{yz} \\ -I_{xz} & -I_{yz} & I_z \end{array} \right]^{-1} \left(\mathbf{M}_p + \mathbf{M}_b + \mathbf{M}_\omega + \mathbf{M}_G - \left[\begin{array}{c} qH_z - rH_y \\ rH_x - pH_z \\ pH_y - qH_x \end{array} \right] \right)$$

三、飞行器动力学建模与参数测量——运动学方程



$$\begin{bmatrix} \dot{p} \\ \dot{q} \\ \dot{r} \end{bmatrix} = \underbrace{\begin{bmatrix} qr \cdot \frac{I_{yy} - I_{zz}}{I_{xx}} \\ pr \cdot \frac{I_{zz} - I_{xx}}{I_{yy}} \\ pq \cdot \frac{I_{xx} - I_{yy}}{I_{zz}} \end{bmatrix}}_{\omega \times H} + \underbrace{\begin{bmatrix} \frac{L}{I_{xx}} \\ \frac{M}{I_{yy}} \\ \frac{N}{I_{zz}} \end{bmatrix}}_{\text{机身和桨叶合力矩}} + \underbrace{\begin{bmatrix} \frac{k_p p}{I_{xx}} \\ \frac{k_q q}{I_{yy}} \\ \frac{k_r r}{I_{zz}} \end{bmatrix}}_{\text{阻尼力矩项}} + \underbrace{\begin{bmatrix} \frac{I_r}{I_{xx}} q \Omega_t \\ \frac{I_r}{I_{yy}} p \Omega_t \\ \frac{I_r}{I_{zz}} \dot{\Omega}_t \end{bmatrix}}_{\text{陀螺力矩}} + \underbrace{\begin{bmatrix} 0 \\ 0 \\ \frac{I_r}{I_{zz}} \dot{\Omega}_t \end{bmatrix}}_{\text{桨叶加速减速阻尼项}}$$

控制四个电机转速 Ω_i ，产生 T_{pi} 、 H_{pi} 、 R_{pi} 和 Q_{pi} ，实现 M_p 的变化，最终实现对 p 、 q 、 r 的控制

三、飞行器动力学建模与参数测量



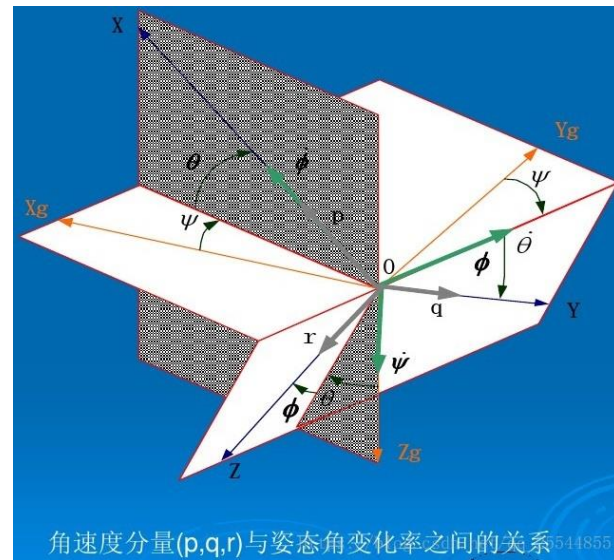
角速度：NED坐标系

$$\begin{bmatrix} \dot{\phi} \\ \dot{\theta} \\ \dot{\psi} \end{bmatrix} = \begin{bmatrix} 1 & \sin\phi \tan\theta & \cos\phi \tan\theta \\ 0 & \cos\phi & -\sin\phi \\ 0 & \sin\phi \sec\theta & \cos\phi \sec\theta \end{bmatrix} \begin{bmatrix} p \\ q \\ r \end{bmatrix}$$

$$\begin{bmatrix} \dot{p} \\ \dot{q} \\ \dot{r} \end{bmatrix} = \begin{bmatrix} qr \cdot \frac{I_{yy} - I_{zz}}{I_{xx}} + \frac{L}{I_{xx}} + \frac{k_p p}{I_{xx}} + \frac{I_r}{I_{xx}} q \Omega_t \\ pr \cdot \frac{I_{zz} - I_{xx}}{I_{yy}} + \frac{M}{I_{yy}} + \frac{k_q q}{I_{yy}} - \frac{I_r}{I_{yy}} p \Omega_t \\ pq \cdot \frac{I_{xx} - I_{yy}}{I_{zz}} + \frac{N}{I_{zz}} + \frac{k_r r}{I_{zz}} + \frac{I_r}{I_{zz}} \dot{\Omega}_t \end{bmatrix}$$

$$\begin{bmatrix} \dot{u} \\ \dot{v} \\ \dot{w} \end{bmatrix} = \frac{1}{m} \begin{bmatrix} F_x \\ F_y \\ F_z \end{bmatrix}_B - \begin{bmatrix} qw - rv \\ ru - pw \\ pv - qu \end{bmatrix}$$

机体坐标系



非线性模型

三、飞行器动力学建模与参数测量——线性化



平衡状态: $\sum F = 0$ $\sum M = 0$

小扰动假设: 研究飞行器在飞行过程中受到的扰动较小, 飞行状态维持在平衡状态附近。

$$u = u_e + \Delta u$$

$$v = v_e + \Delta v$$

$$w = w_e + \Delta w$$

$$p = 0 + \Delta p$$

$$q = 0 + \Delta q$$

$$r = 0 + \Delta r$$

$$\phi = \phi_e + \Delta \phi$$

$$\theta = \theta_e + \Delta \theta$$

$$\psi = \psi_e + \Delta \psi$$

悬停假设: $u_0 = v_0 = w_0 = 0$, $\phi_0 = \theta_0 = 0$, $\alpha = \beta = 0$,
 $T_{pe} = \frac{mg}{4}$, $H_{pe} = 0$, $R_{pe} = 0$, $F_{Be0} = 0$, $M_{Be0} = 0$

前飞假设?

三、飞行器动力学建模与参数测量——线性化



机体动力学和运动学模型：

纵向模型：

$$\begin{bmatrix} \dot{u} \\ \dot{q} \\ \dot{\theta} \\ \dot{\delta}_{lon} \end{bmatrix} = \begin{bmatrix} X_u & 0 & -g & 0 \\ M_u & 0 & 0 & M_{lon} \\ 0 & 1 & 0 & 0 \\ 0 & 0 & 0 & -T_M \end{bmatrix} \begin{bmatrix} u \\ q \\ \theta \\ \delta_{lon} \end{bmatrix} + \begin{bmatrix} 0 \\ 0 \\ 0 \\ 1 \end{bmatrix} \delta_{lonc}$$

滚转模型：

$$\begin{bmatrix} \dot{v} \\ \dot{p} \\ \dot{\phi} \\ \dot{\delta}_{lat} \end{bmatrix} = \begin{bmatrix} Y_v & 0 & g & 0 \\ L_v & 0 & 0 & L_{lon} \\ 0 & 1 & 0 & 0 \\ 0 & 0 & 0 & -T_M \end{bmatrix} \begin{bmatrix} v \\ p \\ \phi \\ \delta_{lat} \end{bmatrix} + \begin{bmatrix} 0 \\ 0 \\ 0 \\ 1 \end{bmatrix} \delta_{latc}$$

偏航模型：

$$\begin{bmatrix} \dot{r} \\ \dot{\psi} \\ \dot{\delta}_{dir} \end{bmatrix} = \begin{bmatrix} N_u & 0 & N_{dir} \\ 1 & 0 & 0 \\ 0 & 0 & -T_M \end{bmatrix} \begin{bmatrix} r \\ \psi \\ \delta_{dir} \end{bmatrix} + \begin{bmatrix} 0 \\ 0 \\ 1 \end{bmatrix} \delta_{dirc}$$

垂向模型：

$$\begin{bmatrix} \dot{w} \\ \dot{\delta}_{col} \end{bmatrix} = \begin{bmatrix} Z_w & Z_{col} \\ 0 & -T_M \end{bmatrix} \begin{bmatrix} w \\ \delta_{col} \end{bmatrix} + \begin{bmatrix} 0 \\ 1 \end{bmatrix} \delta_{dirc}$$

三、飞行器动力学建模与参数测量——线性化



以滚转动力学建模为例，由上述模块构成的非线性模型线性化之后，得到下面的状态空间或者传递函数模型：

滚转通道的状态方程为

$$\begin{aligned}\dot{v} &= Y_v v + g\phi \\ \dot{p} &= L_v v + L_{lon}\delta_{lat} \\ \dot{\phi} &= p \\ \dot{\delta}_{lat} &= -T_M\delta_{lat}\end{aligned}$$

滚转通道的传递函数为

$$\frac{p(s)}{\delta_{lat}} = \frac{L_{lon}s^2 - L_{lon}Y_v s}{s^3 - Y_v s^2 - Y_v g} \cdot \frac{1}{T_M s + 1}$$

参数	值	标准差	偏差比例
Y_v	-0.4874	0.009828	2.02%
L_v	-0.0525	0.007156	13.62%
L_{lon}	13.79	0.169	1.23%
T_M	0.0456	0.0024	5.2%

三、飞行器动力学建模与参数测量——小结



1. 遥控器/控制器输入

$$u = \begin{cases} \delta_{\text{col}} & \text{升降加速度} \\ \delta_{\text{lon}} & \text{滚转角加速度} \\ \delta_{\text{lat}} & \text{俯仰角加速度} \\ \delta_{\text{dir}} & \text{偏航角加速度} \end{cases} \xrightarrow{\text{归一化}} \bar{u} = \frac{u - 1100}{1900 - 1100} \in [0, 1]$$

2. 控制分配

对于X型四旋翼（悬停点）

$$\begin{aligned} T_i &= C_T \Omega_i^2 \\ M_{Ti} &= C_M \Omega_i^2 \end{aligned}$$

$$\begin{aligned} T &= T_1 + T_2 + T_3 + T_4 \\ L &= -\frac{\sqrt{2}}{2} l T_1 - \frac{\sqrt{2}}{2} l T_2 + \frac{\sqrt{2}}{2} l T_3 + \frac{\sqrt{2}}{2} l T_4 \\ M &= \frac{\sqrt{2}}{2} l T_1 - \frac{\sqrt{2}}{2} l T_2 - \frac{\sqrt{2}}{2} l T_3 + \frac{\sqrt{2}}{2} l T_4 \\ N &= M_{T1} - M_{T2} + M_{T3} - M_{T4} \end{aligned} \Rightarrow \begin{bmatrix} T \\ L \\ M \\ N \end{bmatrix} = \begin{bmatrix} C_T & C_T & C_T & C_T \\ -\frac{\sqrt{2}}{2} C_T & -\frac{\sqrt{2}}{2} C_T & \frac{\sqrt{2}}{2} C_T & \frac{\sqrt{2}}{2} C_T \\ \frac{\sqrt{2}}{2} C_T & -\frac{\sqrt{2}}{2} C_T & -\frac{\sqrt{2}}{2} C_T & \frac{\sqrt{2}}{2} C_T \\ C_M & C_M & C_M & C_M \end{bmatrix} \begin{bmatrix} \Omega_1^2 \\ \Omega_2^2 \\ \Omega_3^2 \\ \Omega_4^2 \end{bmatrix}$$

2. 控制分配

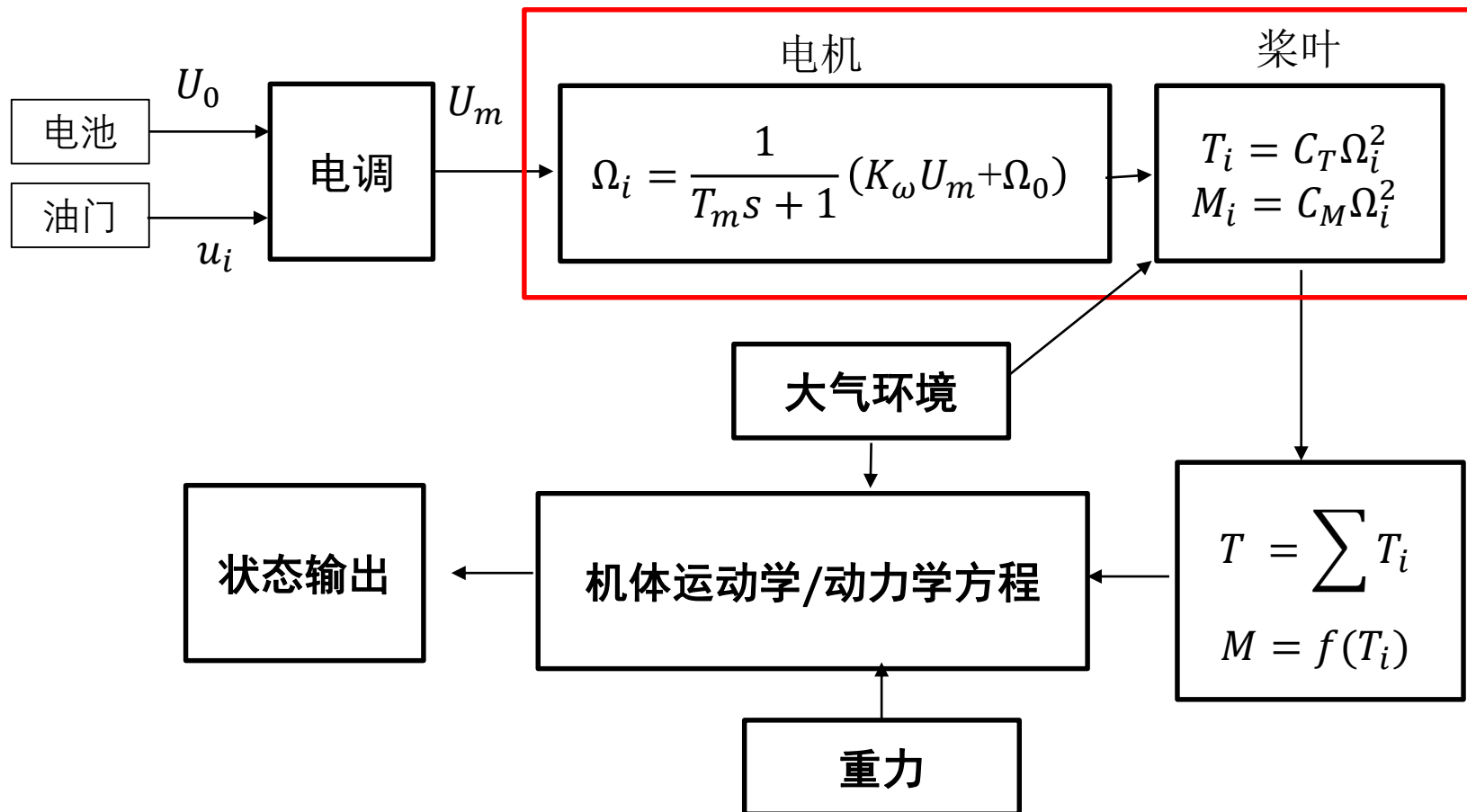
$$\begin{bmatrix} T \\ L \\ M \\ N \end{bmatrix} = \begin{bmatrix} C_T & C_T & C_T & C_T \\ -\frac{\sqrt{2}}{2}C_T & -\frac{\sqrt{2}}{2}C_T & \frac{\sqrt{2}}{2}C_T & \frac{\sqrt{2}}{2}C_T \\ \frac{\sqrt{2}}{2}C_T & -\frac{\sqrt{2}}{2}C_T & -\frac{\sqrt{2}}{2}C_T & \frac{\sqrt{2}}{2}C_T \\ C_M & C_M & C_M & C_M \end{bmatrix} \begin{bmatrix} \Omega_1^2 \\ \Omega_2^2 \\ \Omega_3^2 \\ \Omega_4^2 \end{bmatrix}$$

↓ 归一化/线性化

$$\begin{bmatrix} \delta_{\text{col}} \\ \delta_{\text{lon}} \\ \delta_{\text{lat}} \\ \delta_{\text{dir}} \end{bmatrix} = \begin{bmatrix} 1 & 1 & 1 & 1 \\ -0.707 & -0.707 & 0.707 & 0.707 \\ 0.707 & -0.707 & -0.707 & 0.707 \\ 1 & 1 & 1 & 1 \end{bmatrix} \begin{bmatrix} u_1 \\ u_2 \\ u_3 \\ u_4 \end{bmatrix}$$

注意：如果四旋翼无人机不工作在悬停状态？

三、飞行器动力学建模与参数测量



三、飞行器动力学建模与参数测量

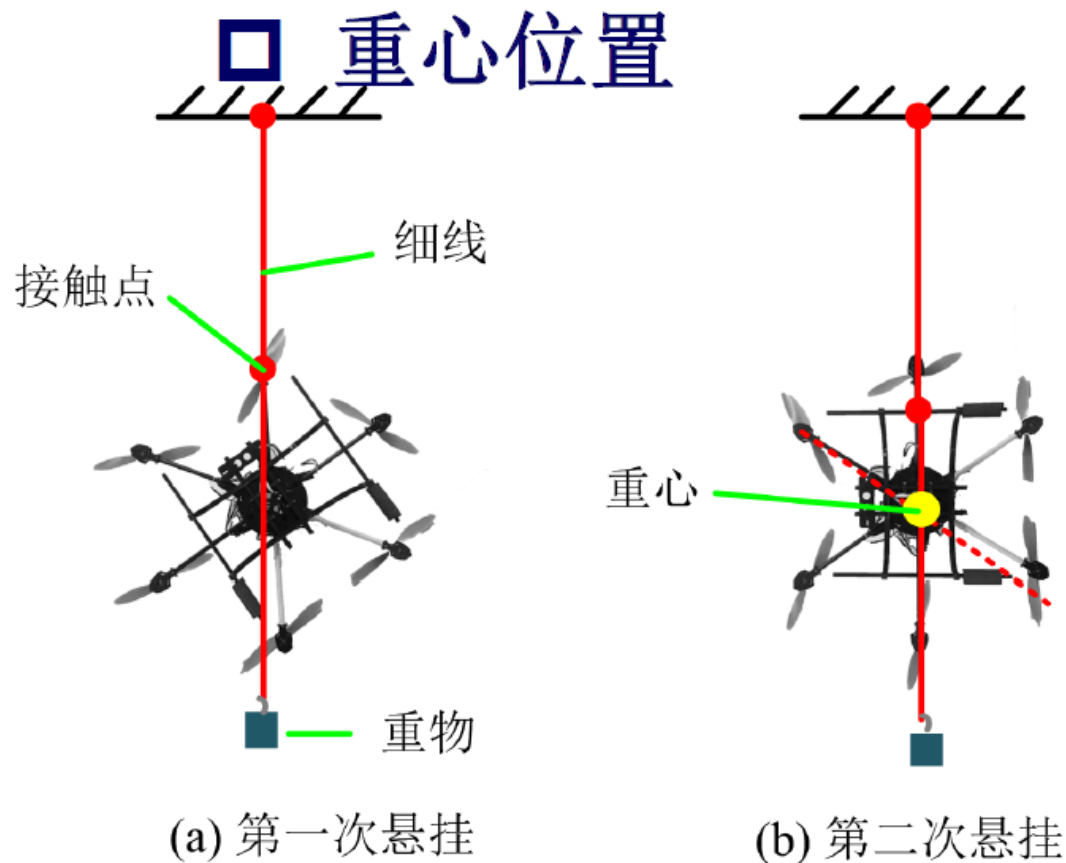


图 6.8 多旋翼质心的确定方式

步骤如下：

(1) 取一根细绳，末端绑上重物，将多旋翼某机臂的一头绑在细绳中间，然后提起细绳的另一头。记录悬线在多旋翼上的位置(图(a)中实线，(b)中虚线所示)。

(2) 同样的，将接触点放在另一个地方，提起多旋翼并记录悬线位置(图(b)中实线所示)。

(3) 如图(b)所示，取两次记录悬线的交点位置就是多旋翼重心所在位置。

(4) 通过多次同样的测量，可提高重心测量精度。

三、飞行器动力学建模与参数测量



转动惯量

(1) 中心主转动惯量

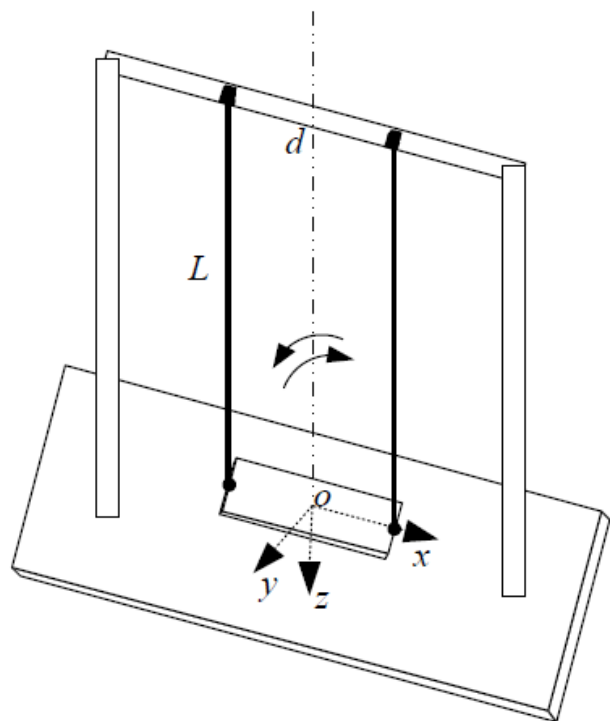
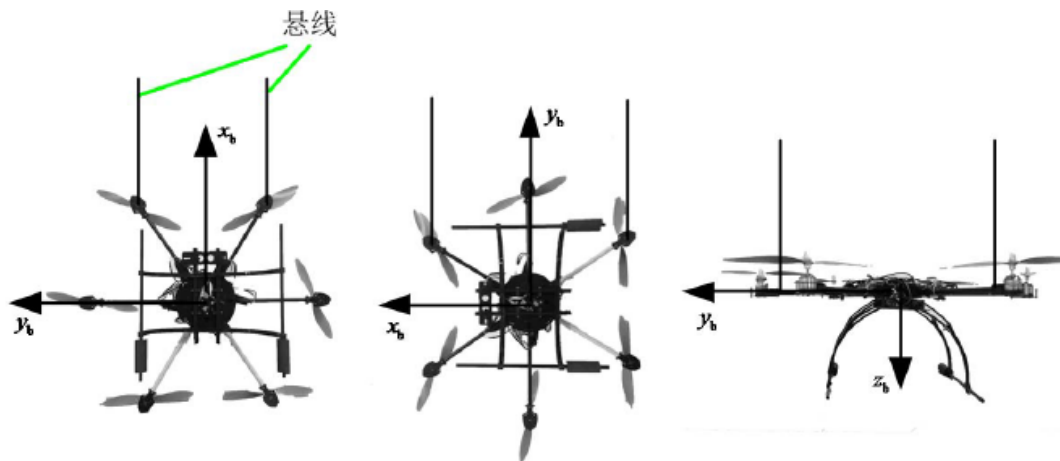


图 6.9 双线摆测量转动惯量示意图



(a) 测量 J_{xx}

(b) 测量 J_{yy}

(c) 测量 J_{zz}

图 6.10 多旋翼主轴转动惯量测量

原理：以z轴为例，双线摆动的周期满足下列公式

$$T_0 = 4\pi \sqrt{\frac{J_{zz}L}{m_0gd^2}}$$

从而有

$$J_{zz} = \frac{m_0gd^2}{16\pi^2L} T_0^2$$

问题：惯性积

J_{xy}, J_{yz}, J_{xz}

如何求？

(2) 惯性积

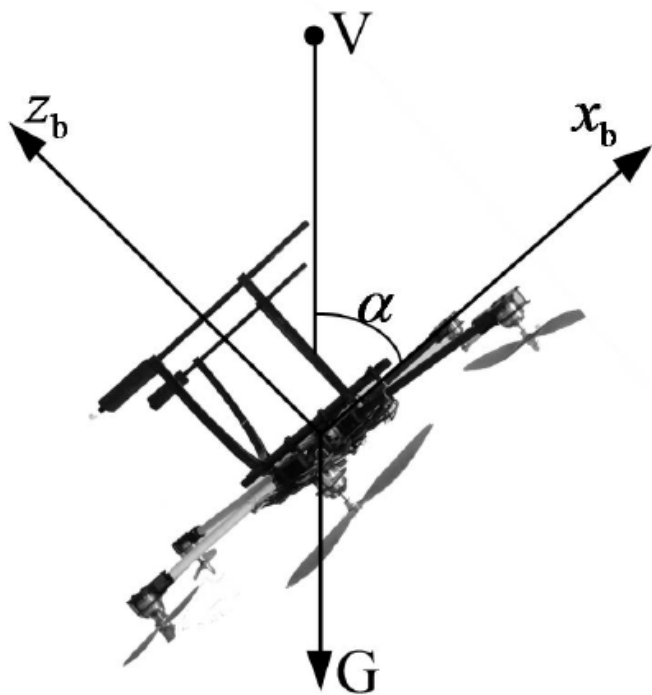


图 6.11 惯性积测量侧视图

$$J_{xz} = \frac{J_V - J_{xx} \cos^2 \alpha - J_{zz} \sin^2 \alpha}{\sin 2\alpha}$$

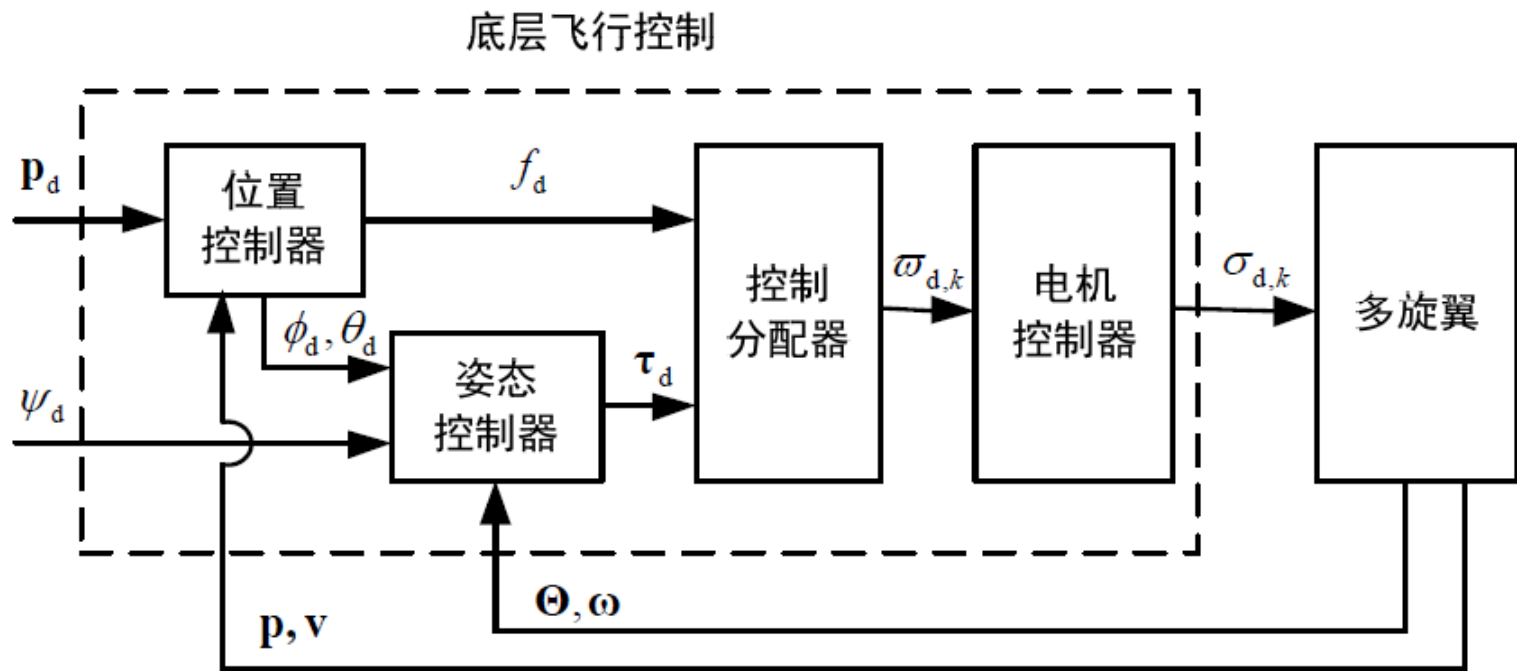
其中 $J_V \in \mathbb{R}_+$ 为多旋翼沿竖直旋转轴V的转动惯量。

步骤如下：

- (1) 测量得到主轴转动惯量 J_{xx}, J_{yy}, J_{zz} ；
- (2) 记录角度 α ，测量得到转动惯量 J_V ；
- (3) 根据上式计算得到 J_{xz} 。

步骤详情见“全权, 戴训华, 魏子博, 等. 一种测量小型飞行器转动惯量与惯性积的方法: CN, CN 103487211 A[P]. 2014.”

四、四旋翼的控制模型



位置控制器

控制： P_x 、 P_y 、 P_z

速度： V_x 、 V_y 、 V_z

姿态控制器

姿态： ϕ 、 θ 、 ψ

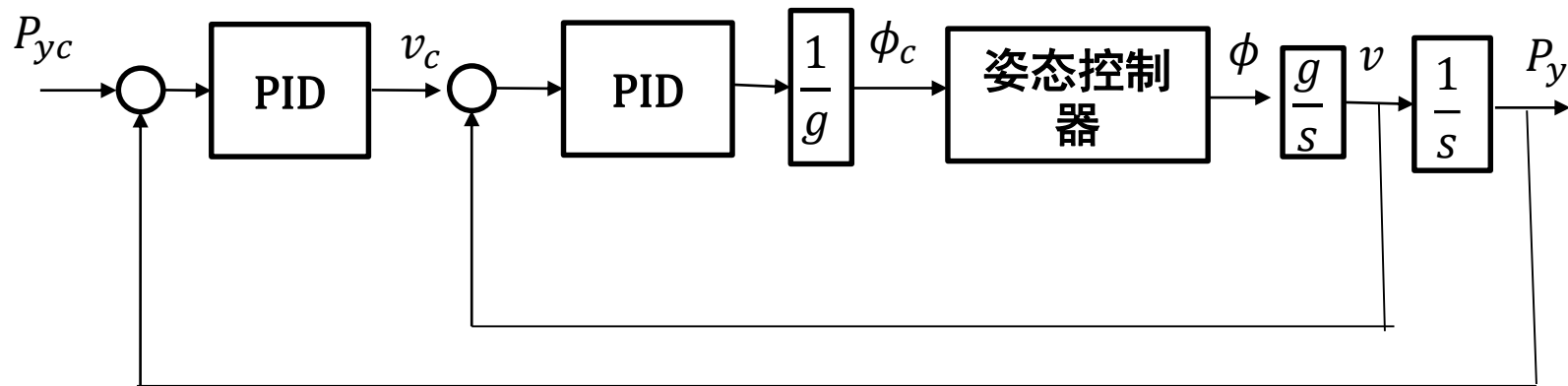
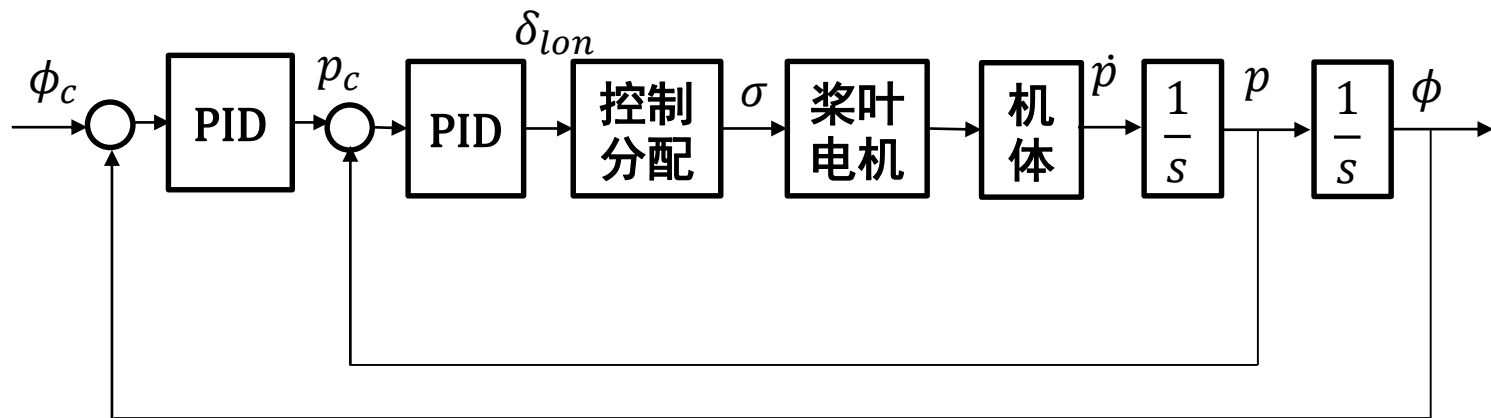
角速度： p 、 q 、 r

期望输入

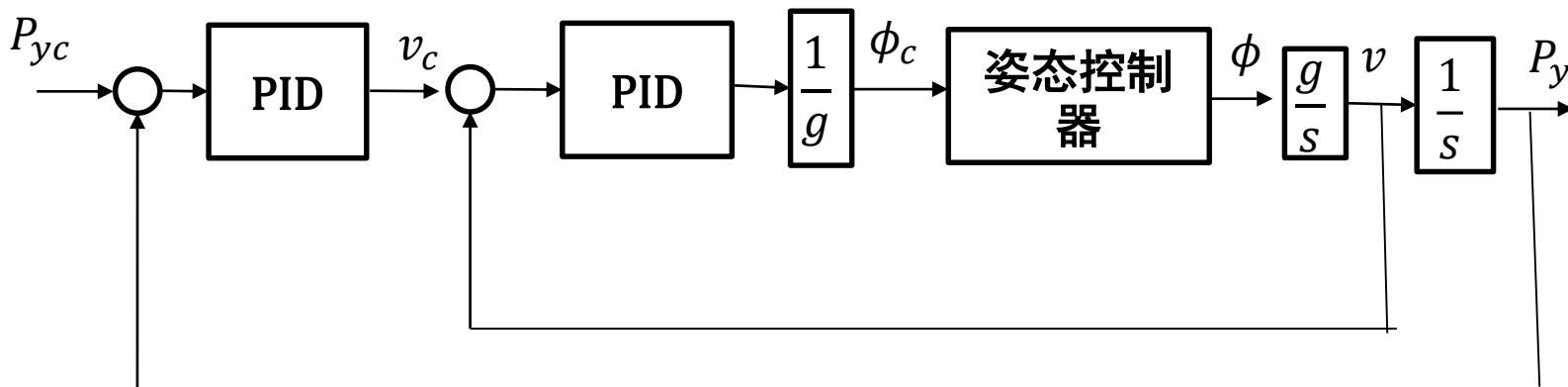


$$u = \begin{cases} \delta_{col} \\ \delta_{lon} \\ \delta_{lat} \\ \delta_{dir} \end{cases} \begin{matrix} \text{升降加速度} \\ \text{滚转角加速度} \\ \text{俯仰角加速度} \\ \text{偏航角加速度} \end{matrix}$$

四、四旋翼的控制模型



四、四旋翼的控制模型



$$\text{PID控制器} \quad G(s) = K_p e(t) + K_i \int_0^t e(t) dt + K_d \frac{de(t)}{dt}$$

现在
过去
将来

K_p ：比例环节，成比例的反映控制系统的偏差信号 $e(t)$ ；

K_i ：用于消除静差，滞后；

K_d ：反映偏差信号的变化趋势，并在偏差信号变化太大之前，在系统中引入一个有效的早期修正信号，加快响应速度。

期望速度指令 $v_c = (P_{yc} - P_y) G(s)$

期望姿态指令 $\phi_c = \frac{(v_{yc} - v_y) G(s)}{g}$

四、四旋翼的控制模型

时域指标：上升时间、峰值时间、调节时间、超调量等

频域指标：幅值裕度、相位裕度、幅穿越频率、相穿越频率等

期望控制器结果：

1. 控制器输出较好的跟随输入：静差较小、快速性好、超调小；
2. 抗模型变化或外界扰动：保证足够的稳定裕度；
3. 对执行机构要求低。

设计原则：

1. 按照实际使用需求，独立或联合使用各层控制器；
2. 可由内而外逐层设计，也可联合设计。

四、四旋翼悬停模态飞行辨识

稳定性判据

$$\begin{aligned}\dot{\phi} &= p \\ \dot{p} &= L_{lon}\delta_{lat}\end{aligned}$$



$$\dot{X} = AX + Bu$$

$$X = \begin{bmatrix} \phi \\ p \end{bmatrix} \quad A = \begin{bmatrix} 0 & 1 \\ 0 & 0 \end{bmatrix} \quad B = \begin{bmatrix} 0 \\ 1 \end{bmatrix}$$

李雅普诺夫稳定判据：

$$A^T P + PA = -Q$$

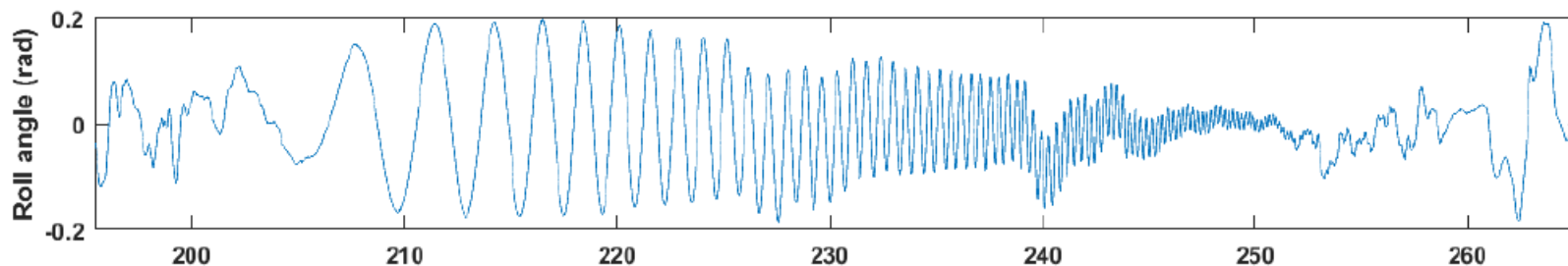
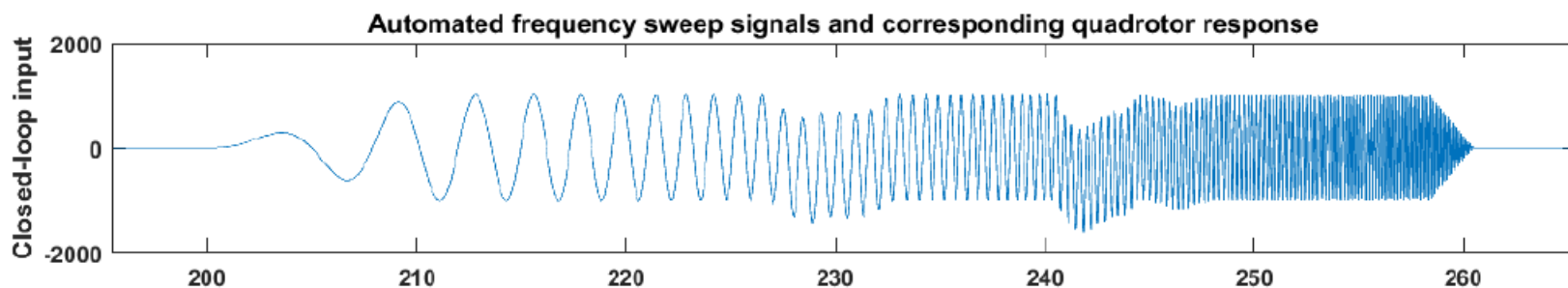
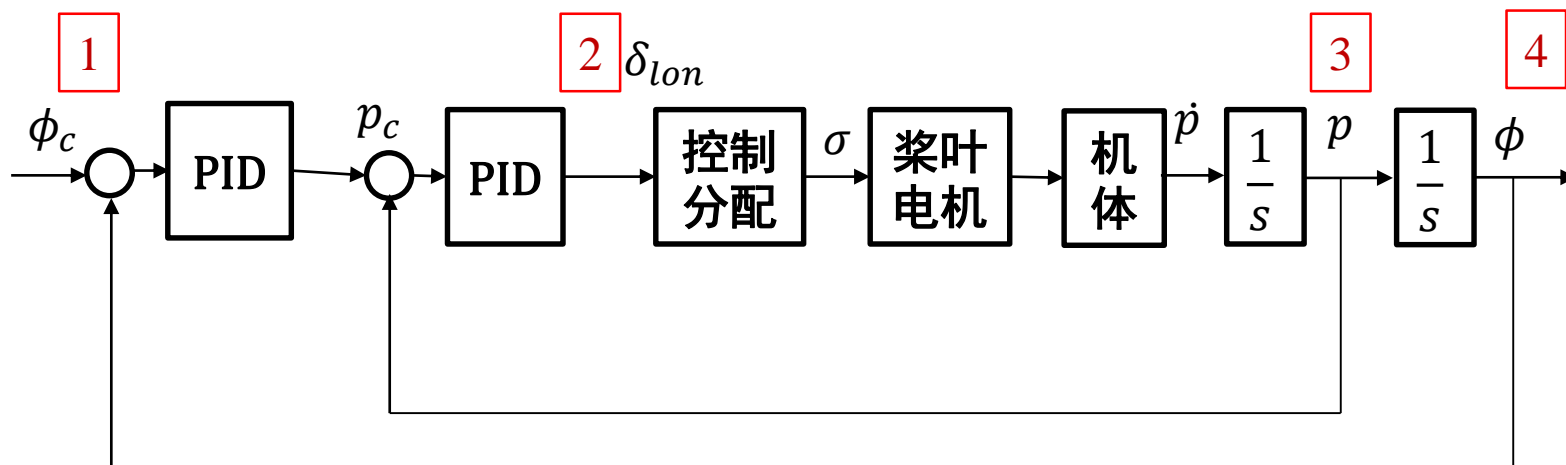
对于给定的正定实对称矩阵 Q ，根据上式求解出 P ，若 P 是正定矩阵，则系统是大范围渐进稳定的。

$$A^T P + PA = -I$$

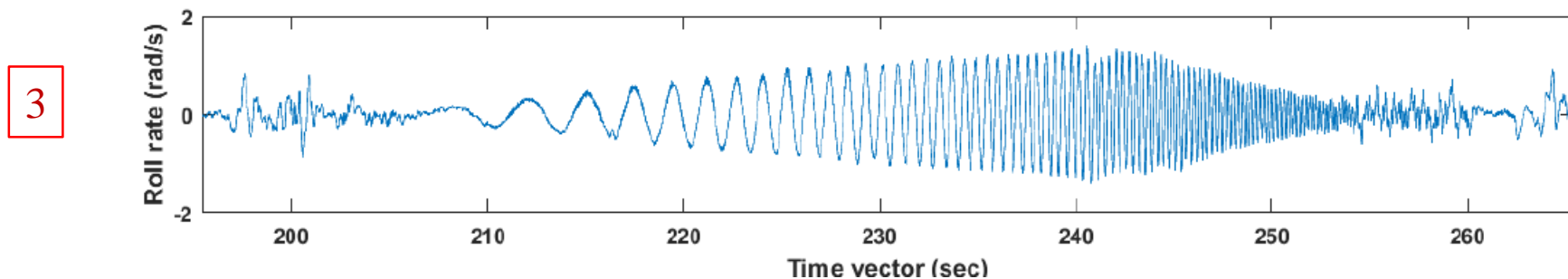
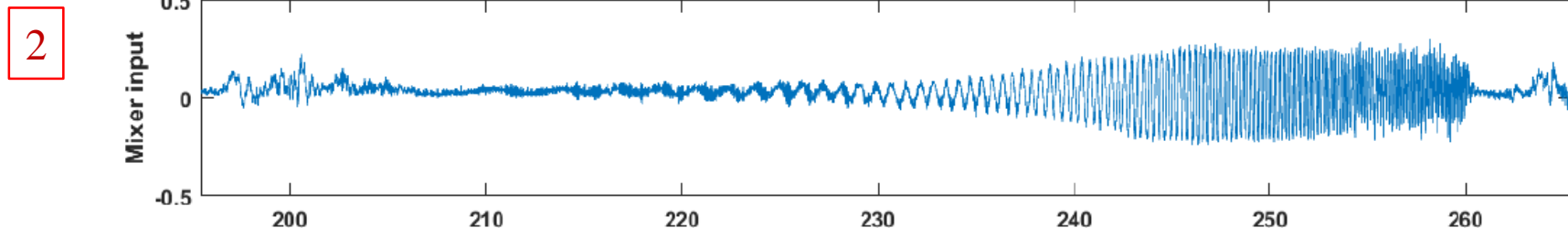
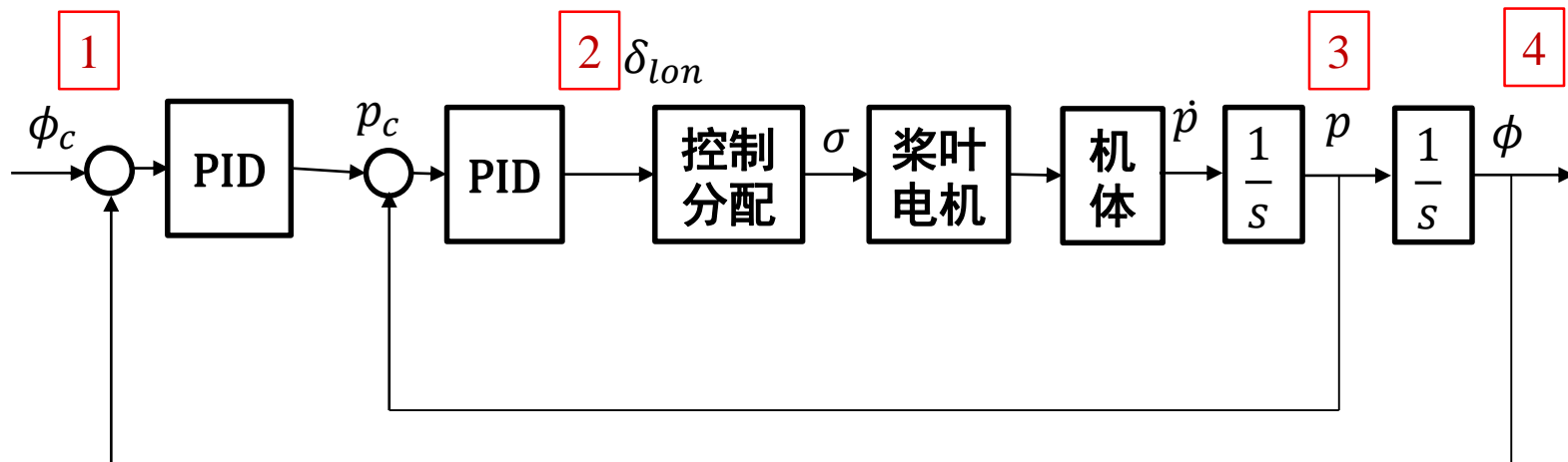


容易得出，系统是不稳定的。

五、四旋翼悬停模态飞行辨识



五、四旋翼悬停模态飞行辨识



The background of the slide is a photograph of an Airbus A320 airplane flying over a sea of clouds at sunset. The sun is low on the horizon, creating a warm, golden glow. The airplane is seen from a side-on perspective, flying towards the right. The large white Chinese characters '谢谢' (Thank you) are superimposed over the center of the image.

谢谢